

**ČESKÉ VYSOKÉ UČENÍ TECHNICKÉ
V PRAZE**

FAKULTA STAVEBNÍ

Katedra ocelových a dřevěných konstrukcí



DIPLOMOVÁ PRÁCE

**Analýza příčin vzniku poruch zavěšeného silničního
mostu**

PŘÍLOHA 1

Detailní popis numerického modelu

Bc. Tomáš Dejmek

2021

Vedoucí diplomové práce: doc. Ing. Pavel Ryjáček, Ph.D.

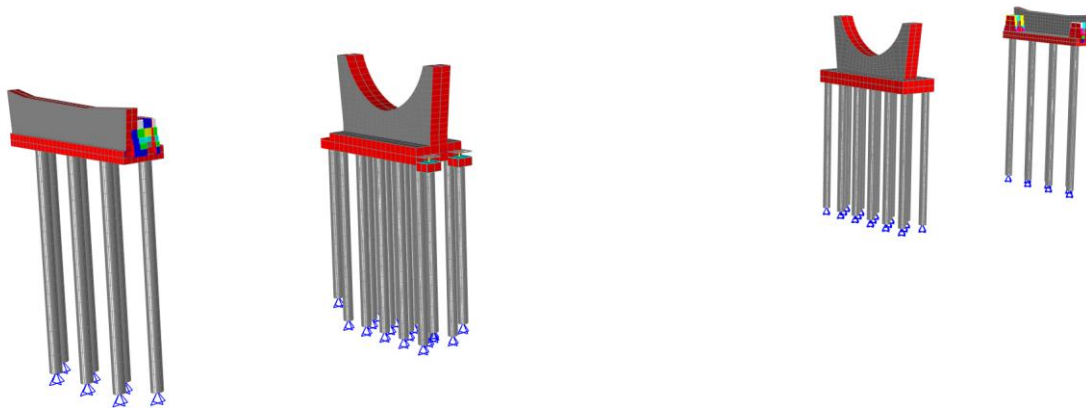
Obsah

1	Popis numerického modelu	3
1.1	Popis použitých průřezů	3
1.1.1	Spodní stavba.....	3
1.1.2	Hlavní nosná konstrukce	11
1.2	Průřezové charakteristiky prutových prvků.....	17
1.2.1	Hlavní nosníky.....	17
1.2.2	Pylony.....	19
1.2.3	Závěsy.....	22
1.2.4	Příčníky v poli	23
1.2.5	Podporové příčníky	30
1.2.6	Koncové příčníky nad opěrami	37
1.2.7	Koncový příčník nad opěrami – dobetonávka.....	44
1.2.8	Koncová táhla.....	52
1.2.9	Římsové chodníky	52
1.2.10	Vozovka.....	53
1.2.11	Piloty.....	53
1.3	Deskové prvky	54
1.3.1	Spodní stavba.....	54
1.3.2	Betonová deska.....	56
2	Seznam obrázků	57
3	Seznam tabulek.....	58

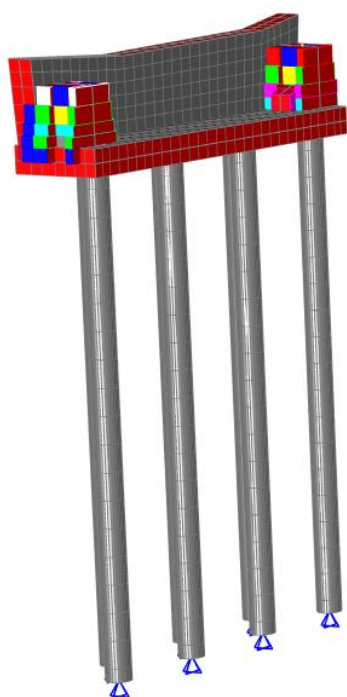
1 Popis numerického modelu

1.1 Popis použitých průřezů

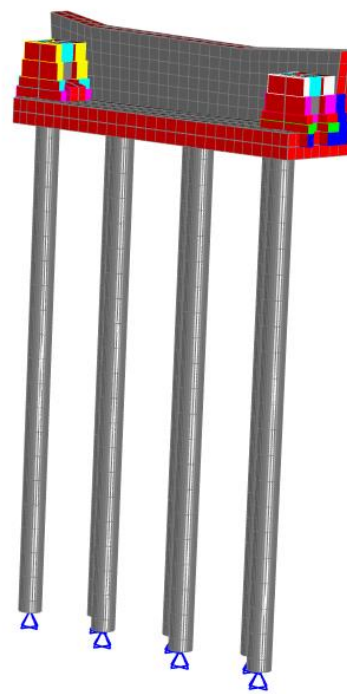
1.1.1 Spodní stavba



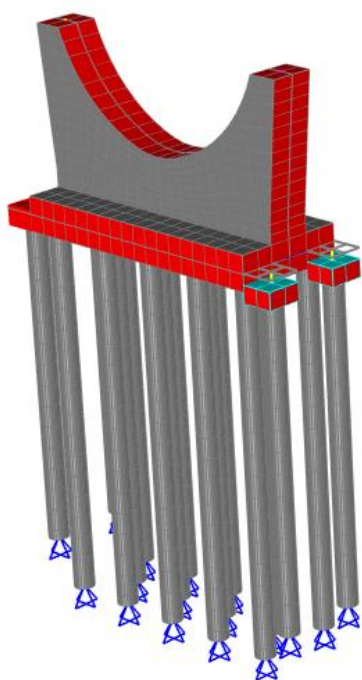
Obr. 1 Spodní stavba – celkový pohled (renderovaný model)



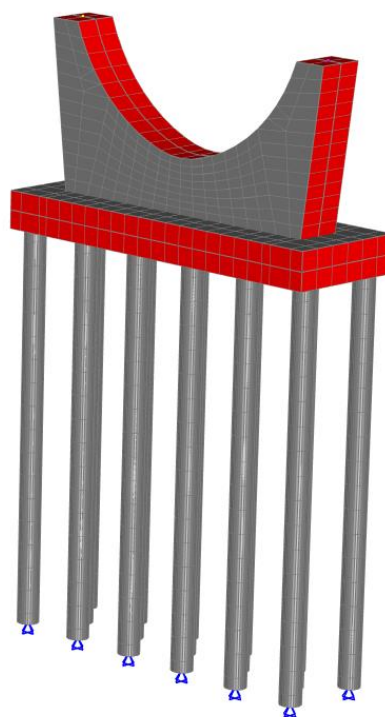
Obr. 2 Opěra OP1 (renderovaný model)



Obr. 3 Opěra OP4 (renderovaný model)

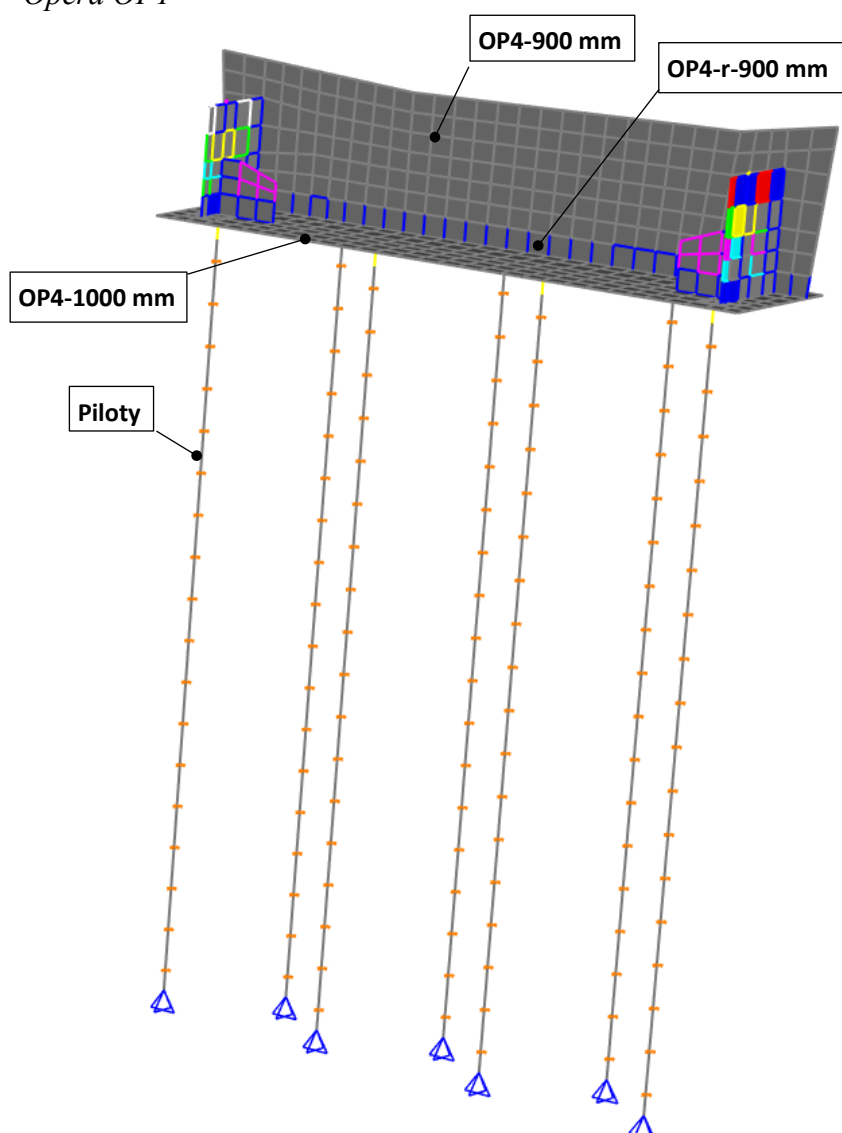


Obr. 4 Podpěra P2 (renderovaný model)

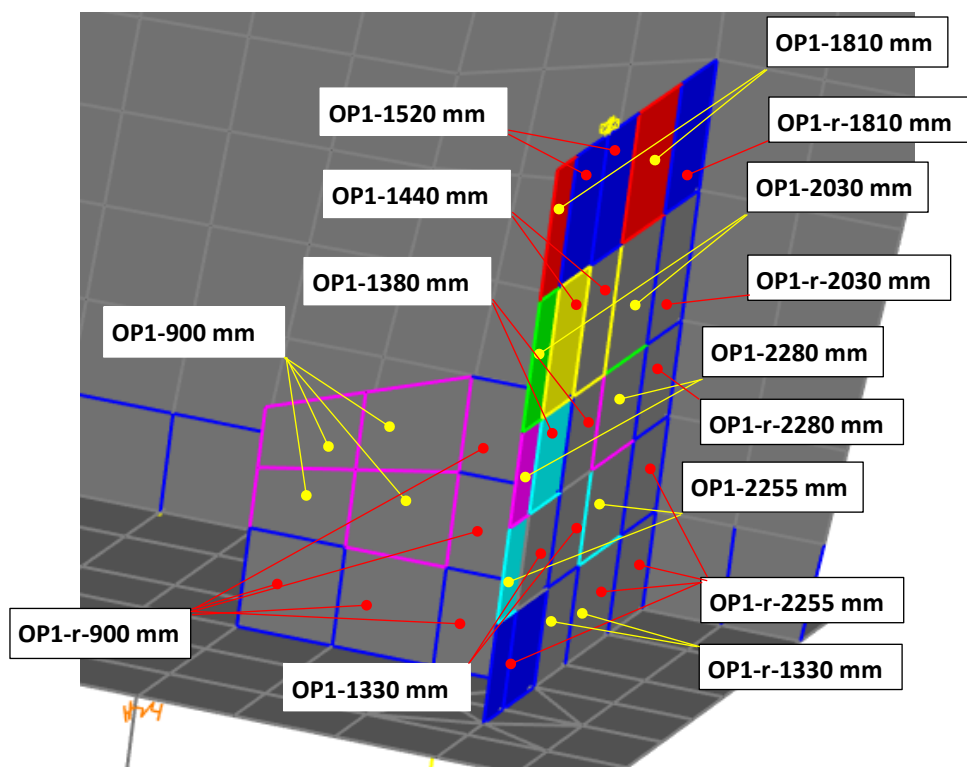


Obr. 5 Podpěra P3 (renderovaný model)

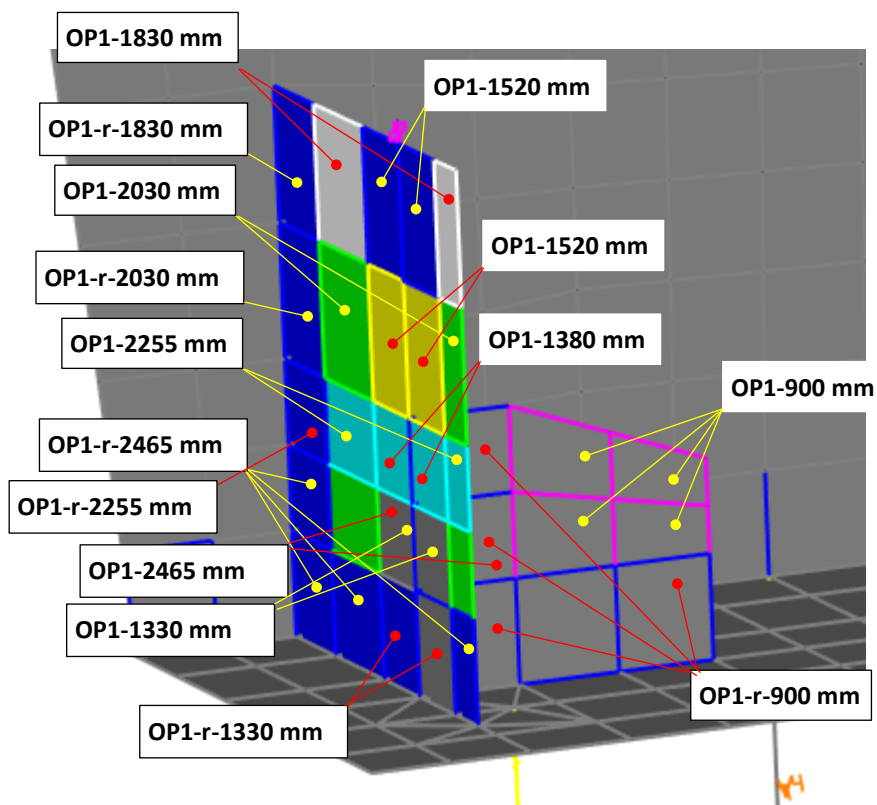
1.1.1.1 Opěra OP1



Obr. 6 Opěra OP4 – celkový pohled (drátový model)

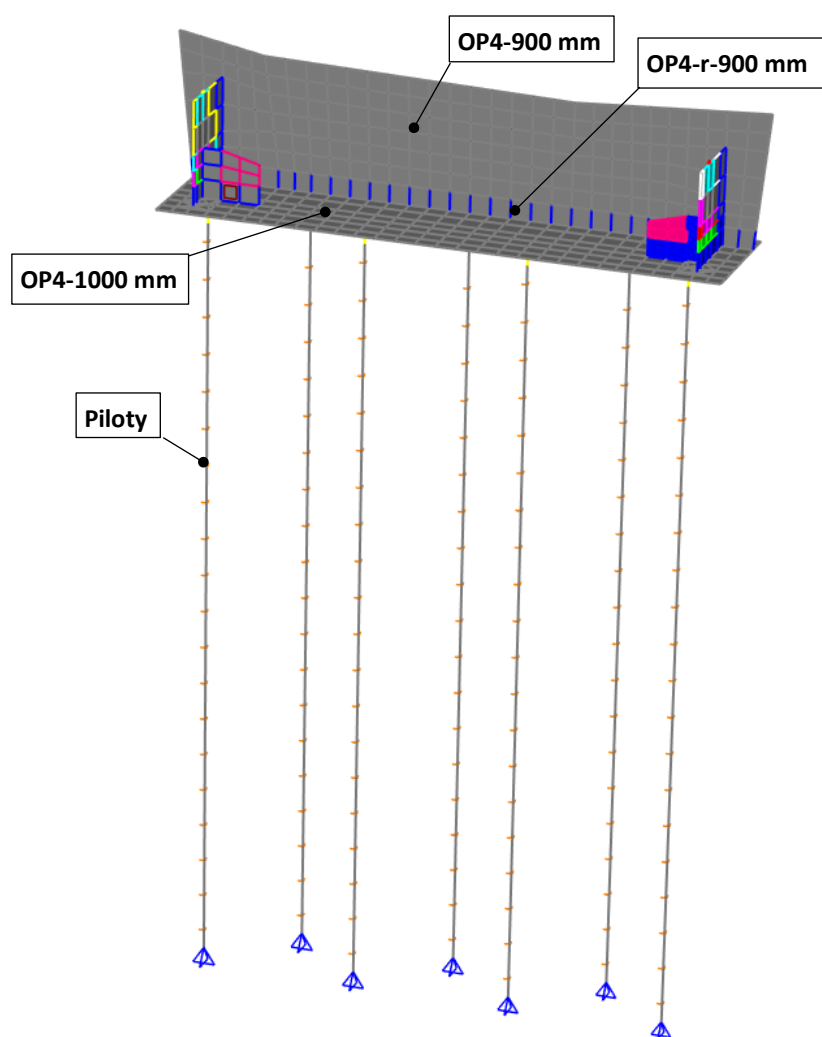


Obr. 7 Opěra OP1 – detail pravé strany

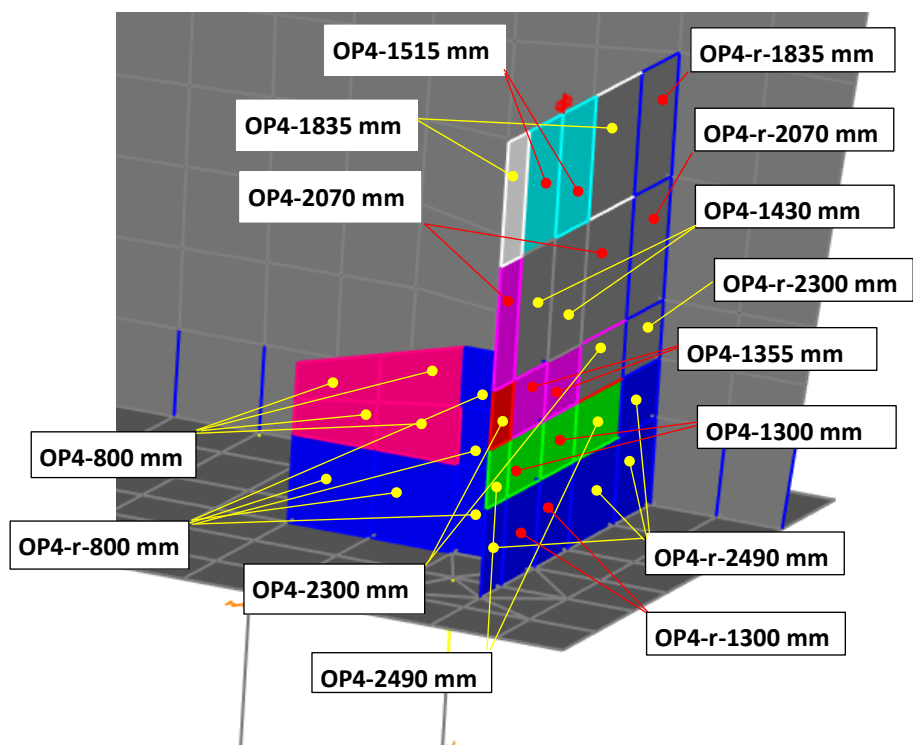


Obr. 8 Opěra OP1 – detail levé strany

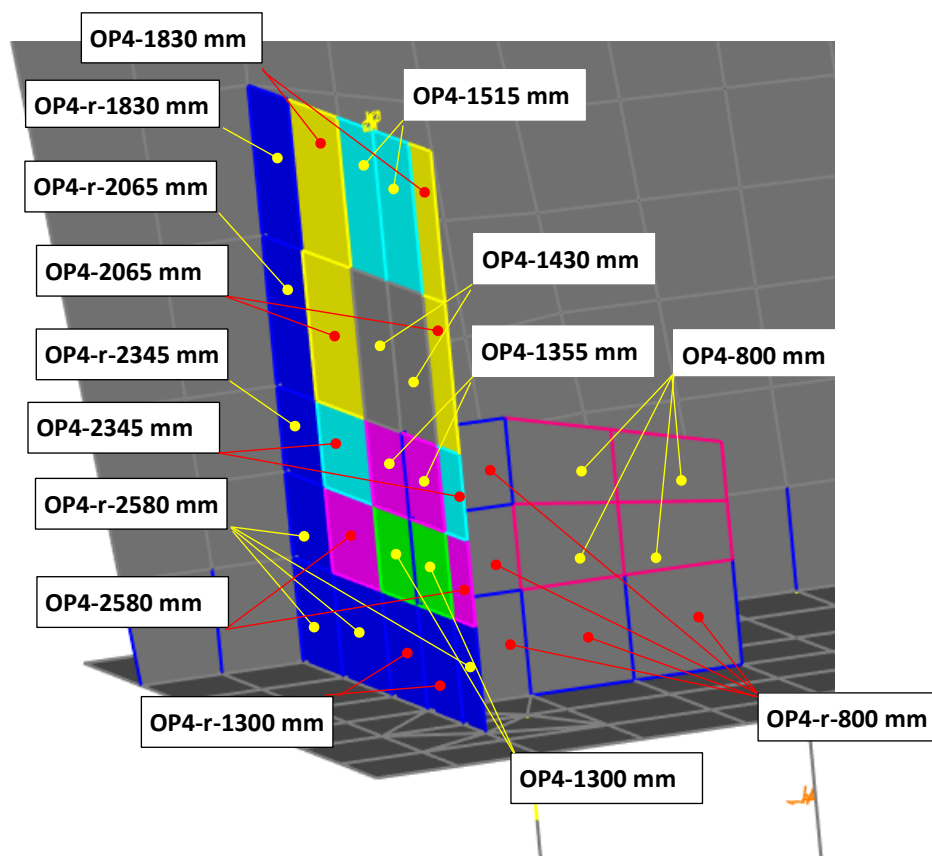
1.1.1.2 Opěra OP4



Obr. 9 Opěra OP4 – celkový pohled (drátový model)

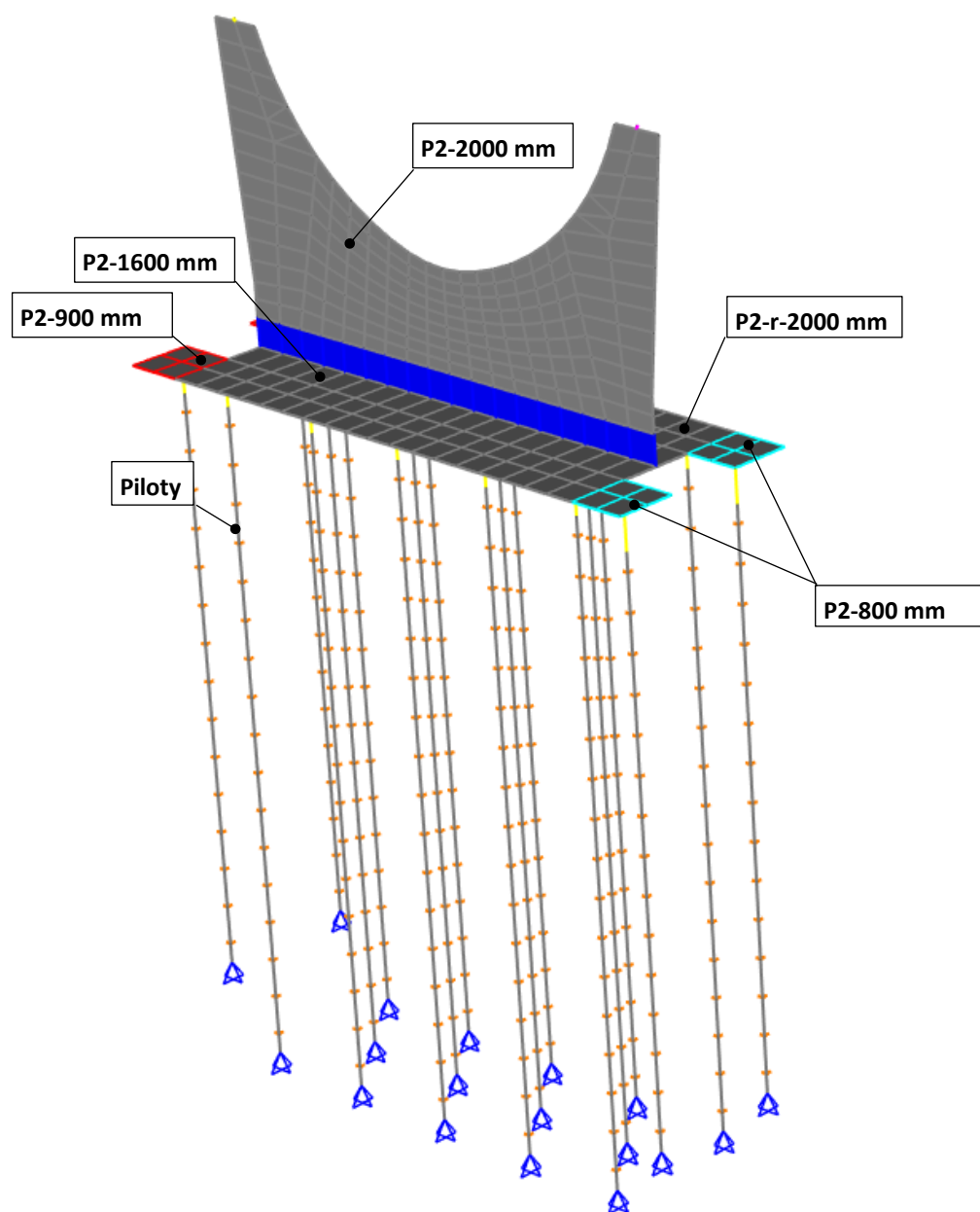


Obr. 10 Opěra OP4 – detail pravé strany



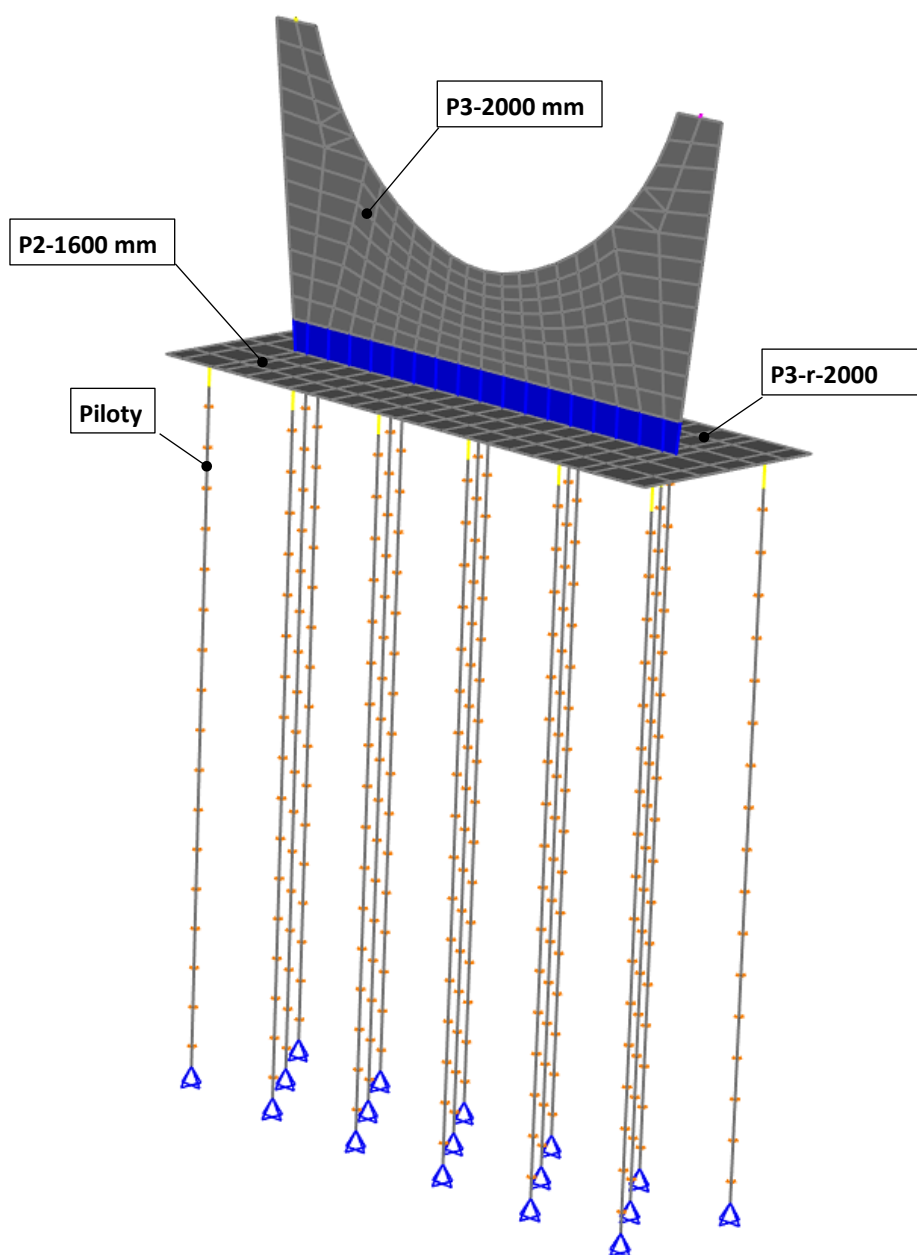
Obr. 11 Opěra OP4 – detail levé strany

1.1.1.3 Podpěra P2



Obr. 12 Podpěra P2 – celkový pohled (drátový model)

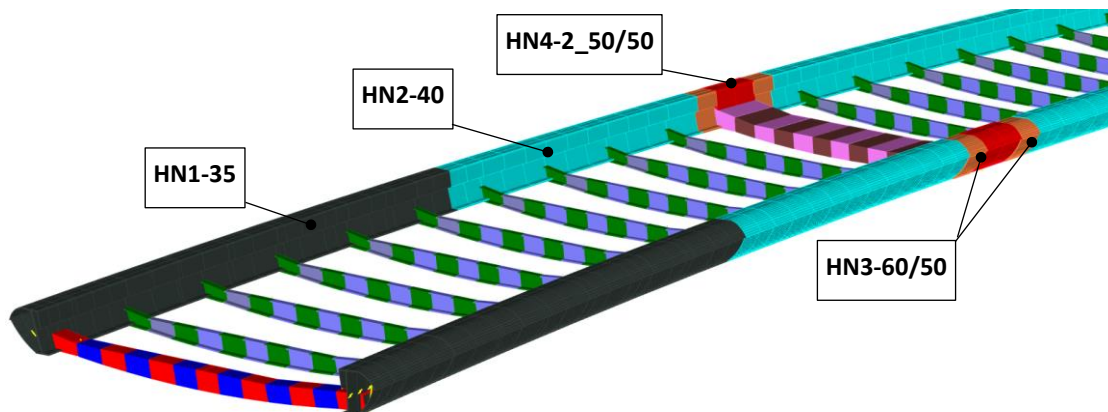
1.1.1.4 Podpěra P3



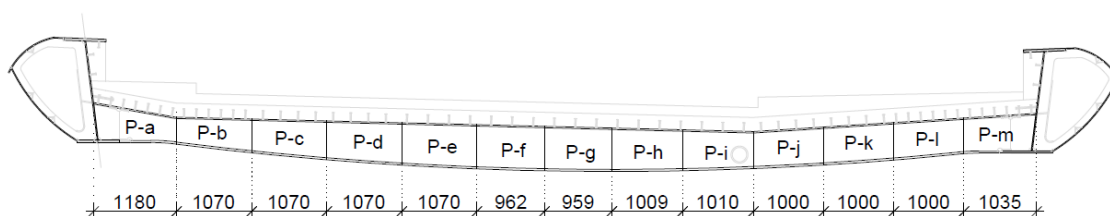
Obr. 13 Podpěra P3 – celkový pohled (drátový model)

1.1.2 Hlavní nosná konstrukce

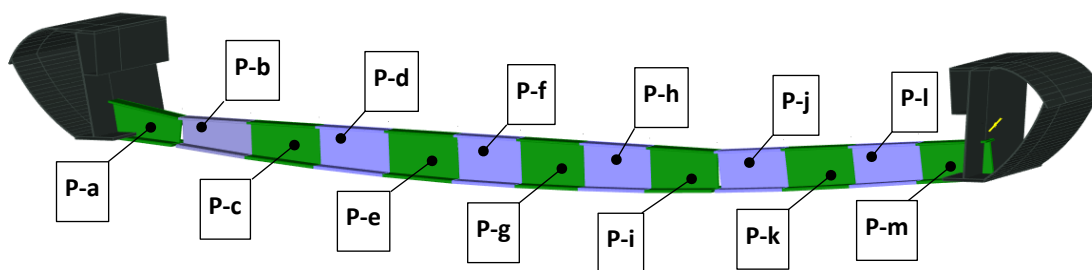
1.1.2.1 Ocelový rošt



Obr. 14 Ocelový rošt mostovky – popis průřezů hlavních nosníků

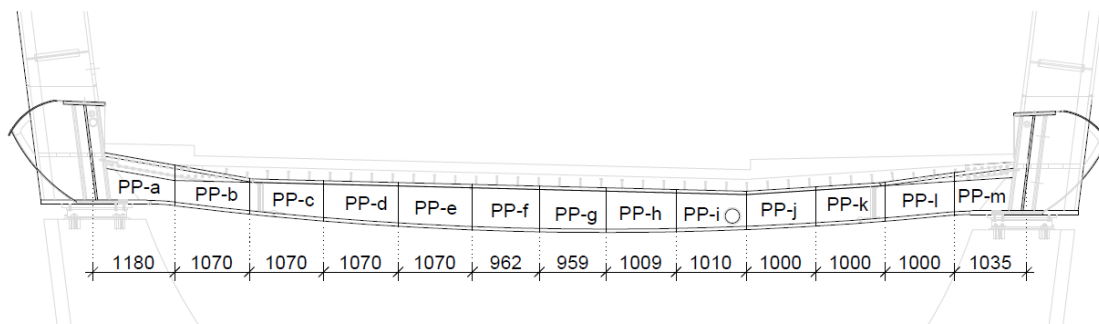


Obr. 15 Příčnick v poli – rozdělení průřezů

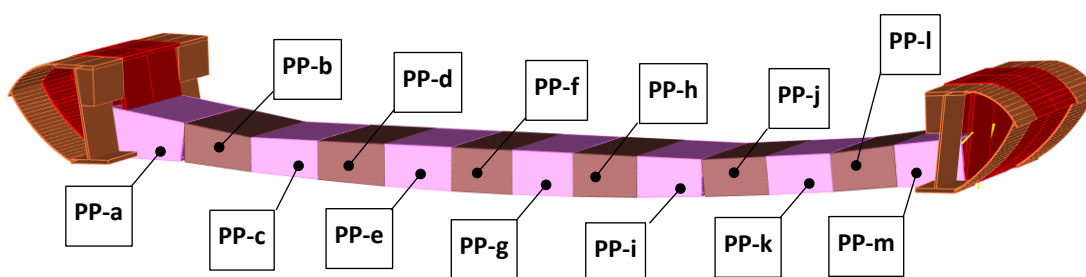


Obr. 16 Příčnick v poli

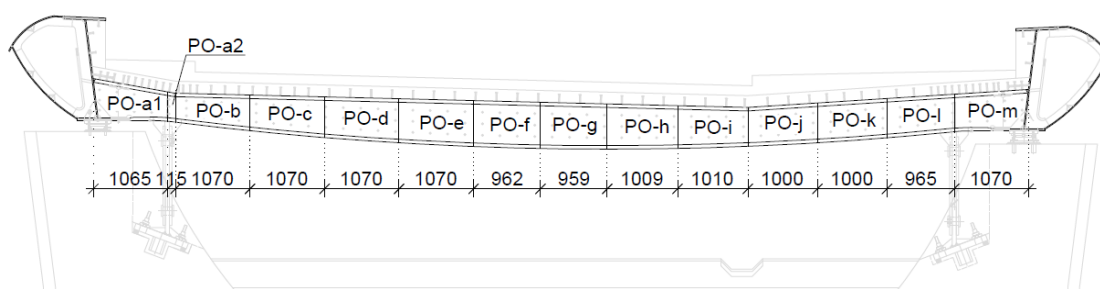
Analýza příčin vzniku poruch zavěšeného mostu



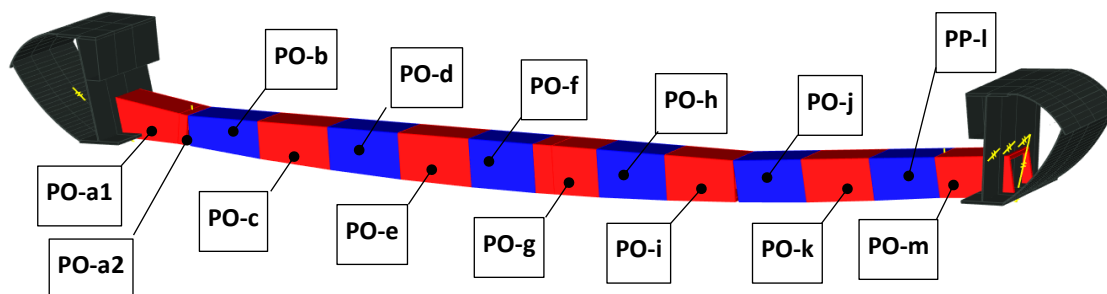
Obr. 17 Příčník nad podporou – rozdělení průřezů



Obr. 18 Příčník podporový

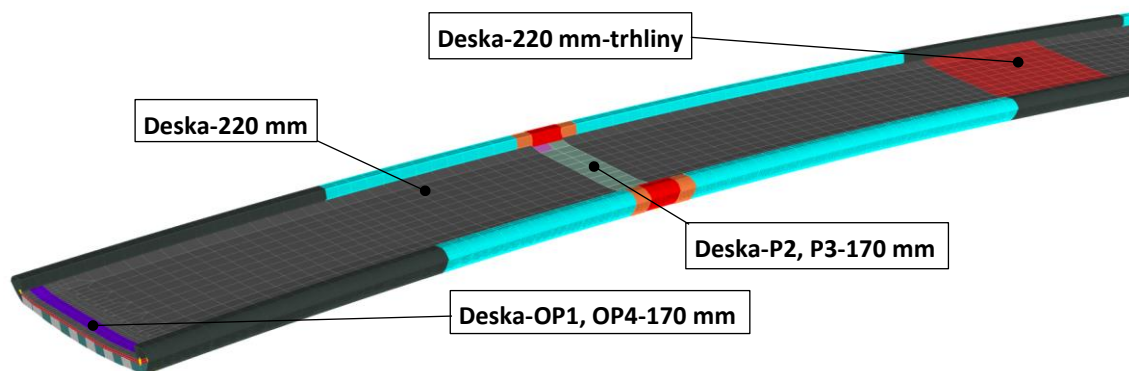


Obr. 19 Koncový příčník – rozdělení průřezů

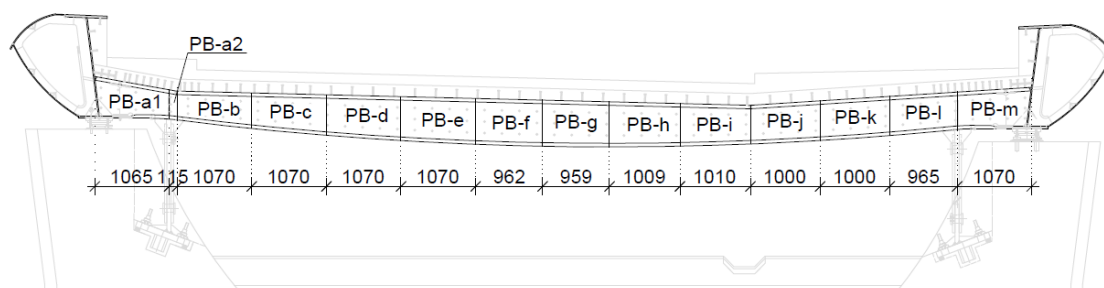


Obr. 20 Koncový příčník – popis průřezů

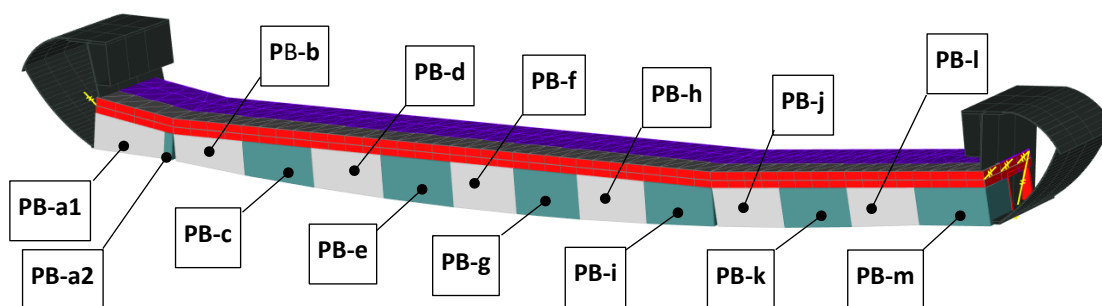
1.1.2.2 Betonová deska



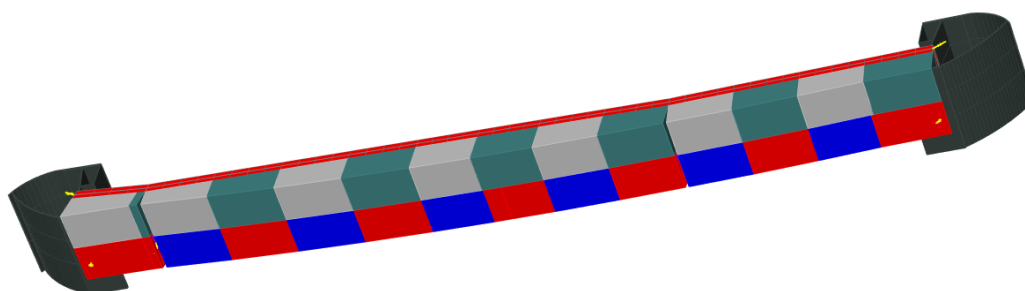
Obr. 21 Betonová deska – použité plošné prvky



Obr. 22 Betonová deska – dobetonávka koncového příčnicku – schéma rozdělení průřezů

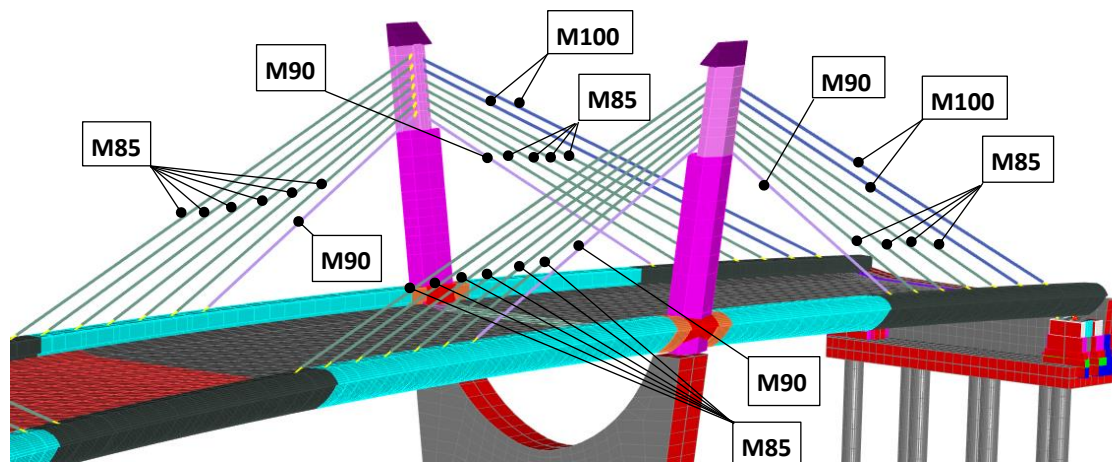


Obr. 23 Betonová deska – dobetonávka koncového příčnicku

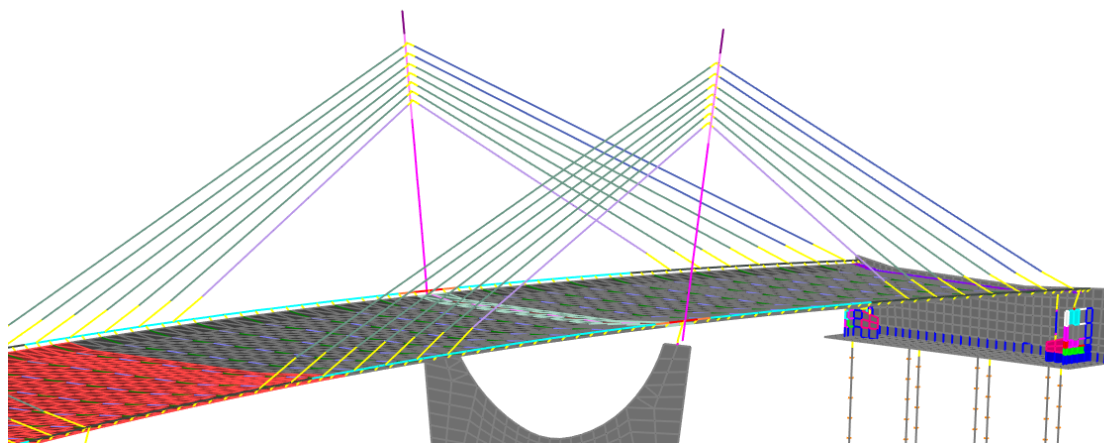


Obr. 24 Betonová deska – dobetonávka koncového příčnicku – pohled zdola

1.1.2.3 Závěsy

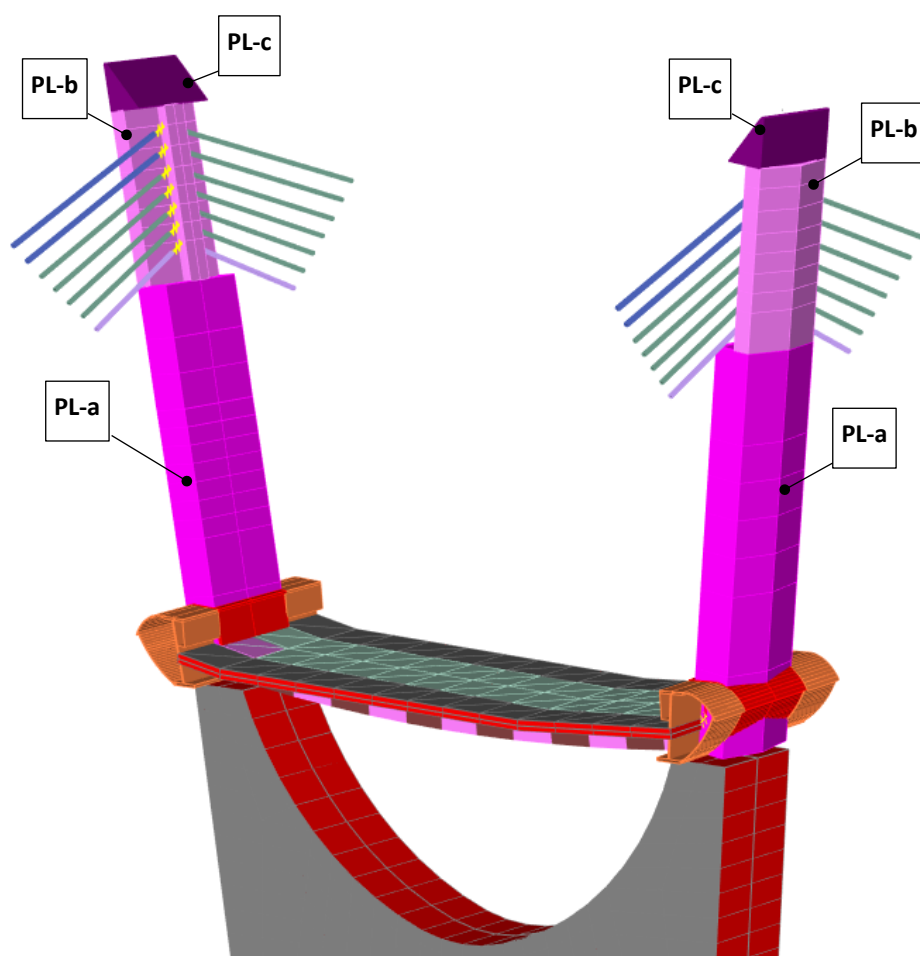


Obr. 25 Závěsy pylonu P3 – celkový pohled (rendrovaný model)



Obr. 26 Závěsy pylonu P3 – celkový pohled (drátový model)

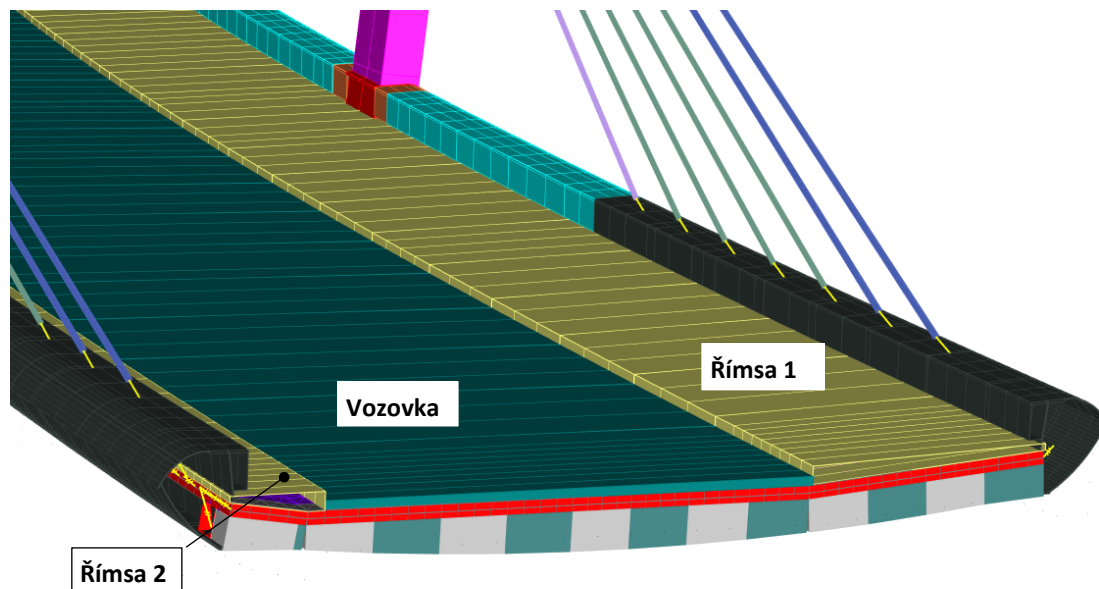
1.1.2.4 Pylony



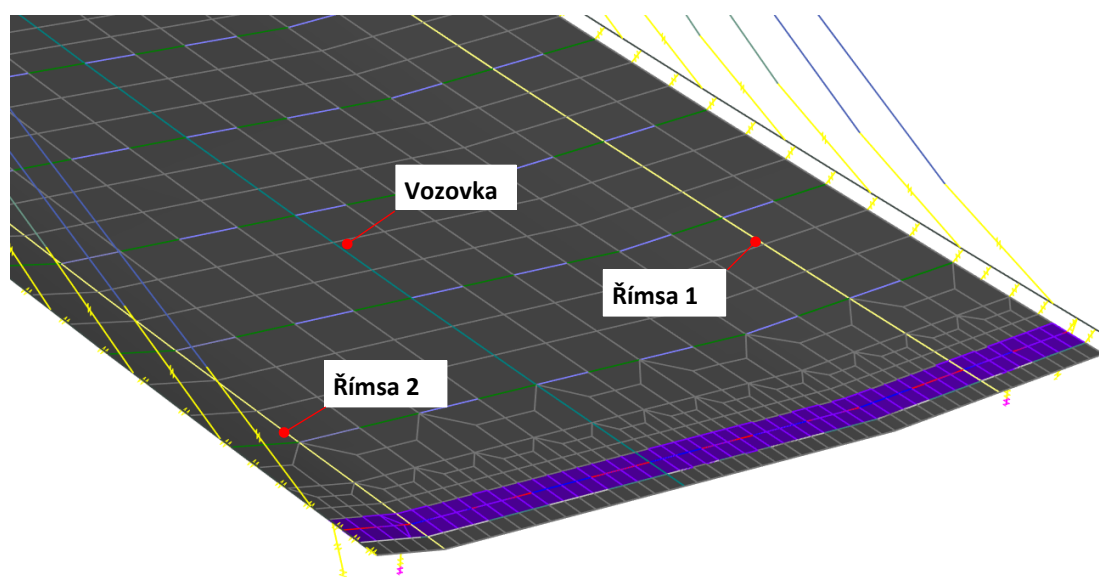
Obr. 27 Pylon – celkový pohled

1.1.2.5 Vozovka a chodníkové římsy

Do modelu byla také přidána vozovka a chodníkové římsy. Ty byly do modelu přidány pomocí prutů s odpovídajícím průřezem.



Obr. 28 Vozovka a chodníkové římsy (renderovaný model)



Obr. 29 Vozovka a chodníkové římsy (drátový model)

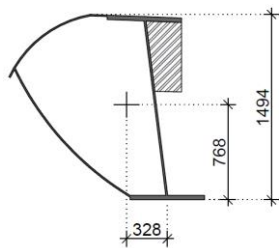
1.2 Průřezové charakteristiky prutových prvků

1.2.1 Hlavní nosníky

1.2.1.1 Průřez HN1-35

Tab. 1 Průřez HN1-35 – průřezové charakteristiky

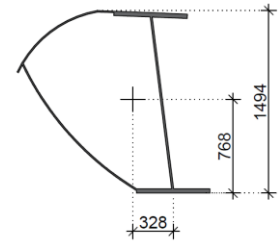
Průřez HN1-35		
Materiál	Ocel S355	
	Beton. parapet	
Tloušťka horní pásnice $t_{f,h}$	0,035	m
Tloušťka dolní pásnice $t_{f,d}$	0,035	m
Tloušťka stojiny t_w	0,016	m
Plocha A	0,09335	m ²
Moment setvačnosti I_y	0,03218	m ⁴
Moment setvačnosti I_z	0,01536	m ⁴
Torzní moment setvačnosti I_t	0,01858	m ⁴



1.2.1.2 Průřez HN1-35-S

Tab. 2 Průřez HN1-35-S – průřezové charakteristiky

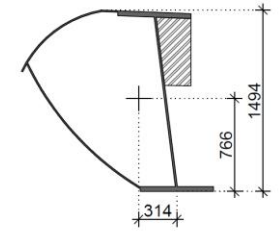
Průřez HN1-35-S		
Materiál	Ocel S355	
Tloušťka horní pásnice $t_{f,h}$	0,035	m
Tloušťka dolní pásnice $t_{f,d}$	0,035	m
Tloušťka stojiny t_w	0,016	m
Plocha A	0,09335	m ²
Moment setvačnosti I_y	0,03218	m ⁴
Moment setvačnosti I_z	0,01536	m ⁴
Torzní moment setvačnosti I_t	0,01857	m ⁴



1.2.1.3 Průřez HN2-40

Tab. 3 Průřez HN2-40 – průřezové charakteristiky

Průřez HN2-40		
Materiál	Ocel S355	
	Beton. parapet	
Tloušťka horní pásnice $t_{f,h}$	0,04	m
Tloušťka dolní pásnice $t_{f,d}$	0,04	m
Tloušťka stojiny t_w	0,016	m
Plocha A	0,09919	m ²
Moment setvačnosti I_y	0,03505	m ⁴
Moment setvačnosti I_z	0,01589	m ⁴
Torzní moment setvačnosti I_t	0,01871	m ⁴

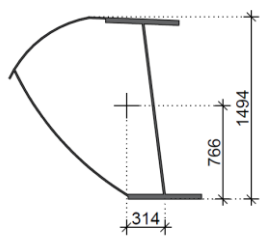


Analýza příčin vzniku poruch zavěšeného mostu

1.2.1.4 Průřez HN2-40-S

Tab. 4 Průřez HN2-40-S – průřezové charakteristiky

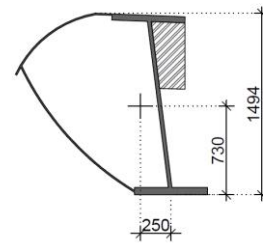
Průřez HN2-40-S		
Materiál	Ocel S355	
Tloušťka horní pásnice $t_{f,h}$	0,04	m
Tloušťka dolní pásnice $t_{f,d}$	0,04	m
Tloušťka stojiny t_w	0,016	m
Plocha A	0,09918	m ²
Moment setvačnosti I_y	0,03505	m ⁴
Moment setvačnosti I_z	0,01589	m ⁴
Torzní moment setvačnosti I_t	0,01871	m ⁴



1.2.1.5 Průřez HN3-60/50

Tab. 5 Průřez HN3-60/50 – průřezové charakteristiky

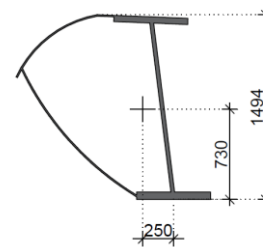
Průřez HN3-60/50		
Materiál	Ocel S355	
	Beton. parapet	
Tloušťka horní pásnice $t_{f,h}$	0,05	m
Tloušťka dolní pásnice $t_{f,d}$	0,06	m
Tloušťka stojiny t_w	0,03	m
Plocha A	0,13597	m ²
Moment setvačnosti I_y	0,04645	m ⁴
Moment setvačnosti I_z	0,01813	m ⁴
Torzní moment setvačnosti I_t	0,02205	m ⁴



1.2.1.6 Průřez HN3-60/50-S

Tab. 6 Průřez HN3-60/50-S – průřezové charakteristiky

Průřez HN3-60/50-S		
Materiál	Ocel S355	
Tloušťka horní pásnice $t_{f,h}$	0,05	m
Tloušťka dolní pásnice $t_{f,d}$	0,06	m
Tloušťka stojiny t_w	0,03	m
Plocha A	0,13597	m ²
Moment setvačnosti I_y	0,04645	m ⁴
Moment setvačnosti I_z	0,01813	m ⁴
Torzní moment setvačnosti I_t	0,02203	m ⁴

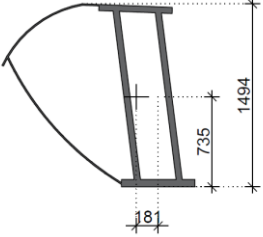


Analýza příčin vzniku poruch zavěšeného mostu

1.2.1.7 Průřez HN4-2_50/5

Tab. 7 Průřez HN4-2_50/50 – průřezové charakteristiky

Průřez HN4-2_50/50		
Materiál	Ocel S355	
Tloušťka horní pásnice $t_{f,h}$	0,05	m
Tloušťka dolní pásnice $t_{f,d}$	0,06	m
Tloušťka stojiny t_w	2x 0,05	m
Plocha A	0,23246	m ²
Moment setvačnosti I_y	0,06148	m ⁴
Moment setvačnosti I_z	0,02403	m ⁴
Torzní moment setvačnosti I_t	0,03827	m ⁴

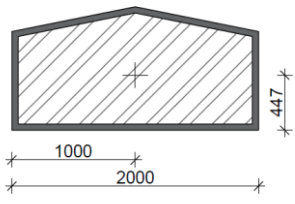


1.2.2 Pylony

1.2.2.1 Průřez PL-a

Tab. 8 Průřez PL-a – průřezové charakteristiky

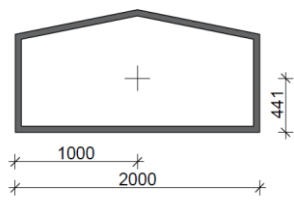
Průřez PL-a		
Materiál	Ocel S355	
	C30/37 pylony	
Tloušťka komorového průřezu	0,05	m
Plocha A	0,51244	m ²
Moment setvačnosti I_y	0,05318	m ⁴
Moment setvačnosti I_z	0,20221	m ⁴
Torzní moment setvačnosti I_t	0,15325	m ⁴



1.2.2.2 Průřez PL-a-S

Tab. 9 Průřez PL-a-S – průřezové charakteristiky

Průřez PL-a-S		
Materiál	Ocel S355	
Tloušťka komorového průřezu	0,05	m
Plocha A	0,27238	m ²
Moment setvačnosti I_y	0,03987	m ⁴
Moment setvačnosti I_z	0,13426	m ⁴
Torzní moment setvačnosti I_t	0,10313	m ⁴

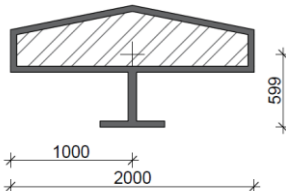


Analýza příčin vzniku poruch zavěšeného mostu

1.2.2.3 Průřez PL-b

Tab. 10 Průřez PL-b – průřezové charakteristiky

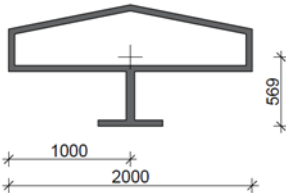
Průřez PL-b		
Materiál	Ocel S355	
	C30/37 pylony	
Tloušťka komorového průřezu	0,05	m
Tloušťka stojiny t_w	0,07	m
Tloušťka dolní pásnice $t_{f,d}$	0,05	m
Plocha A	0,38758	m ²
Moment setvačnosti I_y	0,02431	m ⁴
Moment setvačnosti I_z	0,11963	m ⁴
Torzní moment setvačnosti I_t	0,03428	m ⁴



1.2.2.4 Průřez PL-b-S

Tab. 11 Průřez PL-b-S – průřezové charakteristiky

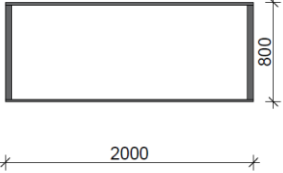
Průřez PL-b-S		
Materiál	Ocel S355	
Tloušťka komorového průřezu	0,05	m
Tloušťka stojiny t_w	0,07	m
Tloušťka dolní pásnice $t_{f,d}$	0,05	m
Plocha A	0,28188	m ²
Moment setvačnosti I_y	0,02208	m ⁴
Moment setvačnosti I_z	0,09210	m ⁴
Torzní moment setvačnosti I_t	0,02792	m ⁴



Analýza příčin vzniku poruch zavěšeného mostu

1.2.2.5 Průřez PL-c

Tab. 12 Průřez PL-c – průřezové charakteristiky

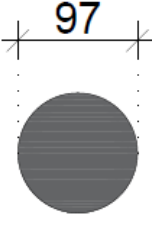
Průřez PL-c			
Materiál	Ocel S355		Začátek průřezu PL-c1 
Tloušťka stojin t_w komory	0,05	m	
Tloušťka pásnic t_f komory	0,02	m	
Plocha A	0,15600	m ²	
Moment setrvačnosti I_y	0,01583	m ⁴	
Moment setrvačnosti I_z	0,09893	m ⁴	
Torzní moment setrvačnosti I_t	0,04091	m ⁴	
Materiál	Ocel S355		
Tloušťka stojin t_w komory	0,05	m	
Tloušťka pásnic t_f komory	0,02	m	
Plocha A	0,08100	m ²	
Moment setrvačnosti I_y	0,00002	m ⁴	
Moment setrvačnosti I_z	0,02762	m ⁴	
Torzní moment setrvačnosti I_t	0,00007	m ⁴	

Analýza příčin vzniku poruch zavěšeného mostu

1.2.3 Závěsy

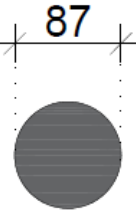
1.2.3.1 Průřez M100

Tab. 13 Průřez M100 – průřezové charakteristiky

Průřez M100			
Materiál	ocel M520		
Průměr d	0,097	m	
Plocha A	7,34E-03	m ²	
Moment setvačnosti I _y	4,29E-06	m ⁴	
Moment setvačnosti I _z	4,29E-06	m ⁴	
Torzni moment setvačnosti I _t	8,58E-06	m ⁴	

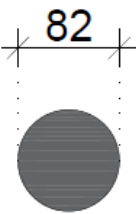
1.2.3.2 Průřez M90

Tab. 14 Průřez M90 – průřezové charakteristiky

Průřez M90			
Materiál	ocel M460		
Průměr d	0,087	m	
Plocha A	5,91E-03	m ²	
Moment setvačnosti I _y	2,78E-06	m ⁴	
Moment setvačnosti I _z	2,78E-06	m ⁴	
Torzni moment setvačnosti I _t	5,55E-06	m ⁴	

1.2.3.3 Průřez M85

Tab. 15 Průřez M85 – průřezové charakteristiky

Průřez M85			
Materiál	ocel M460		
Průměr d	0,087	m	
Plocha A	5,25E-03	m ²	
Moment setvačnosti I _y	2,19E-06	m ⁴	
Moment setvačnosti I _z	2,19E-06	m ⁴	
Torzni moment setvačnosti I _t	4,38E-06	m ⁴	

Analýza příčin vzniku poruch zavěšeného mostu

1.2.4 Příčníky v poli

1.2.4.1 Průřez P-a

Tab. 16 Průřez P-a – průřezové charakteristiky

Průřez P-a			
Materiál	Ocel S355		Začátek průřezu P1
Tloušťka horní pásnice $t_{f,h}$	0,02	m	
Tloušťka dolní pásnice $t_{f,d}$	0,03	m	
Tloušťka stojiny t_w	0,012	m	
Plocha A	1,99E-02	m ²	
Moment setvačnosti I_y	7,92E-04	m ⁴	
Moment setvačnosti I_z	1,21E-04	m ⁴	
Torzní moment setvačnosti I_t	3,73E-06	m ⁴	
Materiál	Ocel S355		
Tloušťka horní pásnice $t_{f,h}$	0,02	m	
Tloušťka dolní pásnice $t_{f,d}$	0,03	m	
Tloušťka stojiny t_w	0,012	m	
Plocha A	1,85E-02	m ²	
Moment setvačnosti I_y	4,36E-04	m ⁴	
Moment setvačnosti I_z	1,21E-04	m ⁴	
Torzní moment setvačnosti I_t	3,67E-06	m ⁴	

1.2.4.2 Průřez P-b

Tab. 17 Průřez P-b – průřezové charakteristiky

Průřez P-b			
Materiál	Ocel S355		Začátek průřezu P2
Tloušťka horní pásnice $t_{f,h}$	0,02	m	
Tloušťka dolní pásnice $t_{f,d}$	0,03	m	
Tloušťka stojiny t_w	0,012	m	
Plocha A	1,85E-02	m ²	
Moment setvačnosti I_y	4,36E-04	m ⁴	
Moment setvačnosti I_z	1,21E-04	m ⁴	
Torzní moment setvačnosti I_t	3,67E-06	m ⁴	
Materiál	Ocel S355		
Tloušťka horní pásnice $t_{f,h}$	0,02	m	
Tloušťka dolní pásnice $t_{f,d}$	0,03	m	
Tloušťka stojiny t_w	0,012	m	
Plocha A	1,97E-02	m ²	
Moment setvačnosti I_y	7,22E-04	m ⁴	
Moment setvačnosti I_z	1,21E-04	m ⁴	
Torzní moment setvačnosti I_t	3,72E-06	m ⁴	

Analýza příčin vzniku poruch zavěšeného mostu

1.2.4.3 Průřez P-c

Tab. 18 Průřez P-c – průřezové charakteristiky

Průřez P-c			
Materiál	Ocel S355		Začátek průřezu P3
Tloušťka horní pásnice $t_{f,h}$	0,02	m	
Tloušťka dolní pásnice $t_{f,d}$	0,03	m	
Tloušťka stojiny t_w	0,012	m	
Plocha A	1,97E-02	m ²	
Moment setvačnosti I_y	7,22E-04	m ⁴	
Moment setvačnosti I_z	1,21E-04	m ⁴	
Torzní moment setvačnosti I_t	3,72E-06	m ⁴	
Materiál	Ocel S355		
Tloušťka horní pásnice $t_{f,h}$	0,02	m	
Tloušťka dolní pásnice $t_{f,d}$	0,03	m	
Tloušťka stojiny t_w	0,012	m	
Plocha A	2,05E-02	m ²	
Moment setvačnosti I_y	9,86E-04	m ⁴	
Moment setvačnosti I_z	1,21E-04	m ⁴	
Torzní moment setvačnosti I_t	3,76E-06	m ⁴	

1.2.4.4 Průřez P-d

Tab. 19 Průřez P-d – průřezové charakteristiky

Průřez P-d			
Materiál	Ocel S355		Začátek průřezu P4
Tloušťka horní pásnice $t_{f,h}$	0,02	m	
Tloušťka dolní pásnice $t_{f,d}$	0,03	m	
Tloušťka stojiny t_w	0,012	m	
Plocha A	2,05E-02	m ²	
Moment setvačnosti I_y	9,86E-04	m ⁴	
Moment setvačnosti I_z	1,21E-04	m ⁴	
Torzní moment setvačnosti I_t	3,76E-06	m ⁴	
Materiál	Ocel S355		
Tloušťka horní pásnice $t_{f,h}$	0,02	m	
Tloušťka dolní pásnice $t_{f,d}$	0,03	m	
Tloušťka stojiny t_w	0,012	m	
Plocha A	2,11E-02	m ²	
Moment setvačnosti I_y	1,20E-03	m ⁴	
Moment setvačnosti I_z	1,21E-04	m ⁴	
Torzní moment setvačnosti I_t	3,79E-06	m ⁴	

Analýza příčin vzniku poruch zavěšeného mostu

1.2.4.5 Průřez P-e

Tab. 20 Průřez P-e – průřezové charakteristiky

Průřez P-e			
Materiál	Ocel S355		Začátek průřezu P5
Tloušťka horní pásnice $t_{f,h}$	0,02	m	
Tloušťka dolní pásnice $t_{f,d}$	0,03	m	
Tloušťka stojiny t_w	0,012	m	
Plocha A	2,11E-02	m ²	
Moment setvačnosti I_y	1,20E-03	m ⁴	
Moment setvačnosti I_z	1,21E-04	m ⁴	
Torzni moment setvačnosti I_t	3,79E-06	m ⁴	
Materiál	Ocel S355		
Tloušťka horní pásnice $t_{f,h}$	0,02	m	
Tloušťka dolní pásnice $t_{f,d}$	0,03	m	
Tloušťka stojiny t_w	0,012	m	
Plocha A	2,14E-02	m ²	
Moment setvačnosti I_y	1,33E-03	m ⁴	
Moment setvačnosti I_z	1,21E-04	m ⁴	
Torzni moment setvačnosti I_t	3,81E-06	m ⁴	

1.2.4.6 Průřez P-f

Tab. 21 Průřez P-f – průřezové charakteristiky

Průřez P-f			
Materiál	Ocel S355		Začátek průřezu P6
Tloušťka horní pásnice $t_{f,h}$	0,02	m	
Tloušťka dolní pásnice $t_{f,d}$	0,03	m	
Tloušťka stojiny t_w	0,012	m	
Plocha A	2,14E-02	m ²	
Moment setvačnosti I_y	1,33E-03	m ⁴	
Moment setvačnosti I_z	1,21E-04	m ⁴	
Torzni moment setvačnosti I_t	3,81E-06	m ⁴	
Materiál	Ocel S355		
Tloušťka horní pásnice $t_{f,h}$	0,02	m	
Tloušťka dolní pásnice $t_{f,d}$	0,03	m	
Tloušťka stojiny t_w	0,012	m	
Plocha A	2,15E-02	m ²	
Moment setvačnosti I_y	1,35E-03	m ⁴	
Moment setvačnosti I_z	1,21E-04	m ⁴	
Torzni moment setvačnosti I_t	3,81E-06	m ⁴	

Analýza příčin vzniku poruch zavěšeného mostu

1.2.4.7 Průřez P-g

Tab. 22 Průřez P-g – průřezové charakteristiky

Průřez P-g			
Materiál	Ocel S355		Začátek průřezu P7
Tloušťka horní pásnice $t_{f,h}$	0,02	m	
Tloušťka dolní pásnice $t_{f,d}$	0,03	m	
Tloušťka stojiny t_w	0,012	m	
Plocha A	2,15E-02	m ²	
Moment setvačnosti I_y	1,35E-03	m ⁴	
Moment setvačnosti I_z	1,21E-04	m ⁴	
Torzni moment setvačnosti I_t	3,81E-06	m ⁴	
Materiál	Ocel S355		
Tloušťka horní pásnice $t_{f,h}$	0,02	m	
Tloušťka dolní pásnice $t_{f,d}$	0,03	m	
Tloušťka stojiny t_w	0,012	m	
Plocha A	2,13E-02	m ²	
Moment setvačnosti I_y	1,27E-03	m ⁴	
Moment setvačnosti I_z	1,21E-04	m ⁴	
Torzni moment setvačnosti I_t	3,80E-06	m ⁴	

1.2.4.8 Průřez P-h

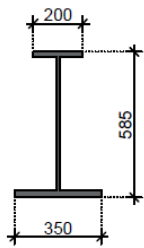
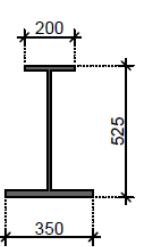
Tab. 23 Průřez P-h – průřezové charakteristiky

Průřez P-h			
Materiál	Ocel S355		Začátek průřezu P8
Tloušťka horní pásnice $t_{f,h}$	0,02	m	
Tloušťka dolní pásnice $t_{f,d}$	0,03	m	
Tloušťka stojiny t_w	0,012	m	
Plocha A	2,13E-02	m ²	
Moment setvačnosti I_y	1,27E-03	m ⁴	
Moment setvačnosti I_z	1,21E-04	m ⁴	
Torzni moment setvačnosti I_t	3,80E-06	m ⁴	
Materiál	Ocel S355		
Tloušťka horní pásnice $t_{f,h}$	0,02	m	
Tloušťka dolní pásnice $t_{f,d}$	0,03	m	
Tloušťka stojiny t_w	0,012	m	
Plocha A	2,09E-02	m ²	
Moment setvačnosti I_y	1,14E-03	m ⁴	
Moment setvačnosti I_z	1,21E-04	m ⁴	
Torzni moment setvačnosti I_t	3,78E-06	m ⁴	

Analýza příčin vzniku poruch zavěšeného mostu

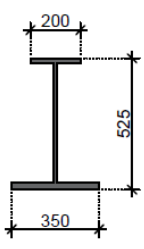
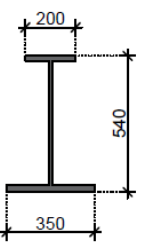
1.2.4.9 Průřez P-i

Tab. 24 Průřez P-i – průřezové charakteristiky

Průřez P-i			
Materiál	Ocel S355		Začátek průřezu P9 
Tloušťka horní pásnice $t_{f,h}$	0,02	m	
Tloušťka dolní pásnice $t_{f,d}$	0,03	m	
Tloušťka stojiny t_w	0,012	m	
Plocha A	2,09E-02	m ²	
Moment setvačnosti I_y	1,14E-03	m ⁴	
Moment setvačnosti I_z	1,21E-04	m ⁴	
Torzni moment setvačnosti I_t	3,78E-06	m ⁴	
Materiál	Ocel S355		Konec průřezu P10 
Tloušťka horní pásnice $t_{f,h}$	0,02	m	
Tloušťka dolní pásnice $t_{f,d}$	0,03	m	
Tloušťka stojiny t_w	0,012	m	
Plocha A	2,02E-02	m ²	
Moment setvačnosti I_y	8,86E-04	m ⁴	
Moment setvačnosti I_z	1,21E-04	m ⁴	
Torzni moment setvačnosti I_t	3,75E-06	m ⁴	

1.2.4.10 Průřez P-j

Tab. 25 Průřez P-j – průřezové charakteristiky

Průřez P-j			
Materiál	Ocel S355		Začátek průřezu P10 
Tloušťka horní pásnice $t_{f,h}$	0,02	m	
Tloušťka dolní pásnice $t_{f,d}$	0,03	m	
Tloušťka stojiny t_w	0,012	m	
Plocha A	2,02E-02	m ²	
Moment setvačnosti I_y	8,86E-04	m ⁴	
Moment setvačnosti I_z	1,21E-04	m ⁴	
Torzni moment setvačnosti I_t	3,75E-06	m ⁴	
Materiál	Ocel S355		Konec průřezu P11 
Tloušťka horní pásnice $t_{f,h}$	0,02	m	
Tloušťka dolní pásnice $t_{f,d}$	0,03	m	
Tloušťka stojiny t_w	0,012	m	
Plocha A	2,04E-02	m ²	
Moment setvačnosti I_y	9,45E-04	m ⁴	
Moment setvačnosti I_z	1,21E-04	m ⁴	
Torzni moment setvačnosti I_t	3,76E-06	m ⁴	

Analýza příčin vzniku poruch zavěšeného mostu

1.2.4.11 Průřez P-k

Tab. 26 Průřez P-k – průřezové charakteristiky

Průřez P-k			
Materiál	Ocel S355		Začátek průřezu P11
Tloušťka horní pásnice $t_{f,h}$	0,02	m	
Tloušťka dolní pásnice $t_{f,d}$	0,03	m	
Tloušťka stojiny t_w	0,012	m	
Plocha A	2,04E-02	m ²	
Moment setvačnosti I_y	9,45E-04	m ⁴	
Moment setvačnosti I_z	1,21E-04	m ⁴	
Torzni moment setvačnosti I_t	3,76E-06	m ⁴	
Materiál	Ocel S355		
Tloušťka horní pásnice $t_{f,h}$	0,02	m	
Tloušťka dolní pásnice $t_{f,d}$	0,03	m	
Tloušťka stojiny t_w	0,012	m	
Plocha A	2,03E-02	m ²	
Moment setvačnosti I_y	9,05E-04	m ⁴	
Moment setvačnosti I_z	1,21E-04	m ⁴	
Torzni moment setvačnosti I_t	3,75E-06	m ⁴	

1.2.4.12 Průřez P-l

Tab. 27 Průřez P-l – průřezové charakteristiky

Průřez P-l			
Materiál	Ocel S355		Začátek průřezu P12
Tloušťka horní pásnice $t_{f,h}$	0,02	m	
Tloušťka dolní pásnice $t_{f,d}$	0,03	m	
Tloušťka stojiny t_w	0,012	m	
Plocha A	2,03E-02	m ²	
Moment setvačnosti I_y	9,05E-04	m ⁴	
Moment setvačnosti I_z	1,21E-04	m ⁴	
Torzni moment setvačnosti I_t	3,75E-06	m ⁴	
Materiál	Ocel S355		
Tloušťka horní pásnice $t_{f,h}$	0,02	m	
Tloušťka dolní pásnice $t_{f,d}$	0,03	m	
Tloušťka stojiny t_w	0,012	m	
Plocha A	2,00E-02	m ²	
Moment setvačnosti I_y	8,29E-04	m ⁴	
Moment setvačnosti I_z	1,21E-04	m ⁴	
Torzni moment setvačnosti I_t	3,74E-06	m ⁴	

Analýza příčin vzniku poruch zavěšeného mostu

1.2.4.13 Průřez P-m

Tab. 28 Průřez P-m – průřezové charakteristiky

Průřez P-m			
Materiál	Ocel S355		Začátek průřezu P13
Tloušťka horní pásnice $t_{f,h}$	0,02	m	
Tloušťka dolní pásnice $t_{f,d}$	0,03	m	
Tloušťka stojiny t_w	0,012	m	
Plocha A	2,00E-02	m ²	
Moment setrvačnosti I_y	8,29E-04	m ⁴	
Moment setrvačnosti I_z	1,21E-04	m ⁴	
Torzní moment setrvačnosti I_t	3,74E-06	m ⁴	
Materiál	Ocel S355		
Tloušťka horní pásnice $t_{f,h}$	0,02	m	
Tloušťka dolní pásnice $t_{f,d}$	0,03	m	
Tloušťka stojiny t_w	0,012	m	
Plocha A	1,99E-02	m ²	
Moment setrvačnosti I_y	7,92E-04	m ⁴	
Moment setrvačnosti I_z	1,21E-04	m ⁴	
Torzní moment setrvačnosti I_t	3,73E-06	m ⁴	

1.2.5 Podporové příčníky

1.2.5.1 Průřez PP-a

Tab. 29 Průřez PP-a – průřezové charakteristiky

Průřez PP-a			
Materiál	Ocel S355		Začátek průřezu PP1
Tloušťka pásnic komory t_f	0,05	m	
Tloušťka stojin komory t_w	0,035	m	
Plocha A	0,24550	m ²	
Moment setvačnosti I_y	0,02614	m ⁴	
Moment setvačnosti I_z	0,11059	m ⁴	
Torzní moment setvačnosti I_t	0,06381	m ⁴	
Materiál	Ocel S355		Konec průřezu PP2
Tloušťka pásnic komory t_f	0,05	m	
Tloušťka stojin komory t_w	0,035	m	
Plocha A	0,23395	m ²	
Moment setvačnosti I_y	0,01502	m ⁴	
Moment setvačnosti I_z	0,09944	m ⁴	
Torzní moment setvačnosti I_t	0,04049	m ⁴	

1.2.5.2 Průřez PP-b

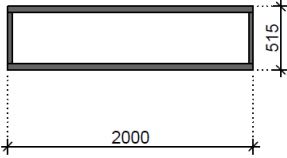
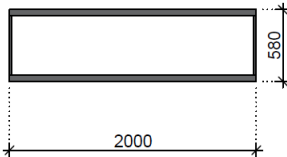
Tab. 30 Průřez PP-b – průřezové charakteristiky

Průřez PP-b			
Materiál	Ocel S355		Začátek průřezu PP2
Tloušťka pásnic komory t_f	0,05	m	
Tloušťka stojin komory t_w	0,035	m	
Plocha A	0,23395	m ²	
Moment setvačnosti I_y	0,01502	m ⁴	
Moment setvačnosti I_z	0,09944	m ⁴	
Torzní moment setvačnosti I_t	0,04049	m ⁴	
Materiál	Ocel S355		Konec průřezu PP3
Tloušťka pásnic komory t_f	0,05	m	
Tloušťka stojin komory t_w	0,035	m	
Plocha A	0,22905	m ²	
Moment setvačnosti I_y	0,01127	m ⁴	
Moment setvačnosti I_z	0,09471	m ⁴	
Torzní moment setvačnosti I_t	0,03175	m ⁴	

Analýza příčin vzniku poruch zavěšeného mostu

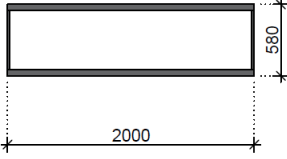
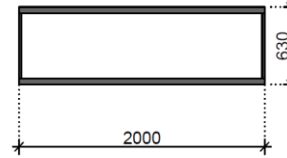
1.2.5.3 Průřez PP-c

Tab. 31 Průřez PP-c – průřezové charakteristiky

Průřez PP-c			
Materiál	Ocel S355		Začátek průřezu PP4
			
Tloušťka pásnic komory t_f	0,05	m	
Tloušťka stojin komory t_w	0,02	m	
Plocha A	0,21660	m ²	
Moment setvačnosti I_y	0,01109	m ⁴	
Moment setvačnosti I_z	0,08294	m ⁴	
Torzní moment setvačnosti I_t	0,02698	m ⁴	
Materiál	Ocel S355		
			
Tloušťka pásnic komory t_f	0,05	m	
Tloušťka stojin komory t_w	0,02	m	
Plocha A	0,21920	m ²	
Moment setvačnosti I_y	0,01446	m ⁴	
Moment setvačnosti I_z	0,08549	m ⁴	
Torzní moment setvačnosti I_t	0,03332	m ⁴	

1.2.5.4 Průřez PP-d

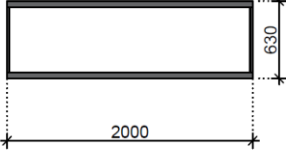
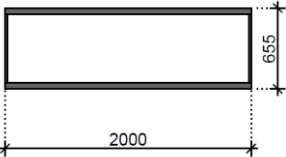
Tab. 32 Průřez PP-d – průřezové charakteristiky

Průřez PP-d			
Materiál	Ocel S355		Začátek průřezu PP5
			
Tloušťka pásnic komory t_f	0,05	m	
Tloušťka stojin komory t_w	0,02	m	
Plocha A	0,21920	m ²	
Moment setvačnosti I_y	0,01446	m ⁴	
Moment setvačnosti I_z	0,08549	m ⁴	
Torzní moment setvačnosti I_t	0,03332	m ⁴	
Materiál	Ocel S355		
			
Tloušťka pásnic komory t_f	0,05	m	
Tloušťka stojin komory t_w	0,02	m	
Plocha A	0,22120	m ²	
Moment setvačnosti I_y	0,01736	m ⁴	
Moment setvačnosti I_z	0,08745	m ⁴	
Torzní moment setvačnosti I_t	0,03845	m ⁴	

Analýza příčin vzniku poruch zavěšeného mostu

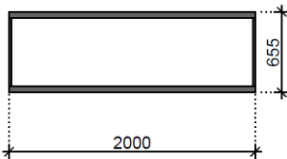
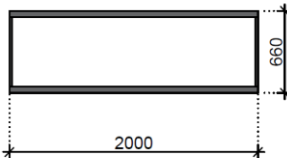
1.2.5.5 Průřez PP-e

Tab. 33 Průřez PP-e – průřezové charakteristiky

Průřez PP-e			
Materiál	Ocel S355		Začátek průřezu PP6
			
Tloušťka pásnic komory t_f	0,05	m	
Tloušťka stojin komory t_w	0,02	m	
Plocha A	0,22120	m ²	
Moment setvačnosti I_y	0,01736	m ⁴	
Moment setvačnosti I_z	0,08745	m ⁴	
Torzní moment setvačnosti I_t	0,03845	m ⁴	
Materiál	Ocel S355		
			
Tloušťka pásnic komory t_f	0,05	m	
Tloušťka stojin komory t_w	0,02	m	
Plocha A	0,22220	m ²	
Moment setvačnosti I_y	0,01891	m ⁴	
Moment setvačnosti I_z	0,08843	m ⁴	
Torzní moment setvačnosti I_t	0,04109	m ⁴	

1.2.5.6 Průřez PP-f

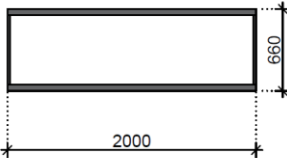
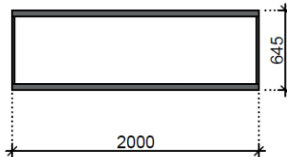
Tab. 34 Průřez PP-f – průřezové charakteristiky

Průřez PP-f			
Materiál	Ocel S355		Začátek průřezu PP7
			
Tloušťka pásnic komory t_f	0,05	m	
Tloušťka stojin komory t_w	0,02	m	
Plocha A	0,22220	m ²	
Moment setvačnosti I_y	0,01891	m ⁴	
Moment setvačnosti I_z	0,08843	m ⁴	
Torzní moment setvačnosti I_t	0,04109	m ⁴	
Materiál	Ocel S355		
			
Tloušťka pásnic komory t_f	0,05	m	
Tloušťka stojin komory t_w	0,02	m	
Plocha A	0,22240	m ²	
Moment setvačnosti I_y	0,01923	m ⁴	
Moment setvačnosti I_z	0,08862	m ⁴	
Torzní moment setvačnosti I_t	0,04162	m ⁴	

Analýza příčin vzniku poruch zavěšeného mostu

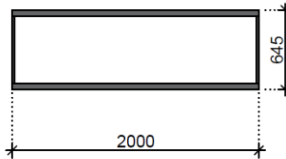
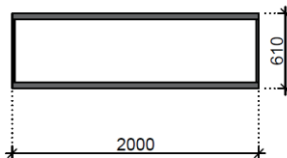
1.2.5.7 Průřez PP-g

Tab. 35 Průřez PP-g – průřezové charakteristiky

Průřez PP-g			
Materiál	Ocel S355		Začátek průřezu PP8
			
Tloušťka pásnic komory t_f	0,05	m	
Tloušťka stojin komory t_w	0,02	m	
Plocha A	0,22240	m ²	
Moment setvačnosti I_y	0,01923	m ⁴	
Moment setvačnosti I_z	0,08862	m ⁴	
Torzni moment setvačnosti I_t	0,04162	m ⁴	
Materiál	Ocel S355		
			
Tloušťka pásnic komory t_f	0,05	m	
Tloušťka stojin komory t_w	0,02	m	
Plocha A	0,22180	m ²	
Moment setvačnosti I_y	0,01828	m ⁴	
Moment setvačnosti I_z	0,08803	m ⁴	
Torzni moment setvačnosti I_t	0,04003	m ⁴	

1.2.5.8 Průřez PP-h

Tab. 36 Průřez PP-h – průřezové charakteristiky

Průřez PP-h			
Materiál	Ocel S355		Začátek průřezu PP9
			
Tloušťka pásnic komory t_f	0,05	m	
Tloušťka stojin komory t_w	0,02	m	
Plocha A	0,22180	m ²	
Moment setvačnosti I_y	0,01828	m ⁴	
Moment setvačnosti I_z	0,08803	m ⁴	
Torzni moment setvačnosti I_t	0,04003	m ⁴	
Materiál	Ocel S355		
			
Tloušťka pásnic komory t_f	0,05	m	
Tloušťka stojin komory t_w	0,02	m	
Plocha A	0,22040	m ²	
Moment setvačnosti I_y	0,01616	m ⁴	
Moment setvačnosti I_z	0,08666	m ⁴	
Torzni moment setvačnosti I_t	0,03637	m ⁴	

Analýza příčin vzniku poruch zavěšeného mostu

1.2.5.9 Průřez PP-i

Tab. 37 Průřez PP-i – průřezové charakteristiky

Průřez PP-i			
Materiál	Ocel S355		Začátek průřezu PP10
Tloušťka pásnic komory t_f	0,05	m	
Tloušťka stojin komory t_w	0,02	m	
Plocha A	0,22040	m ²	
Moment setvačnosti I_y	0,01616	m ⁴	
Moment setvačnosti I_z	0,08666	m ⁴	
Torzní moment setvačnosti I_t	0,03637	m ⁴	
Materiál	Ocel S355		
Tloušťka pásnic komory t_f	0,05	m	
Tloušťka stojin komory t_w	0,02	m	
Plocha A	0,21800	m ²	
Moment setvačnosti I_y	0,01285	m ⁴	
Moment setvačnosti I_z	0,08431	m ⁴	
Torzní moment setvačnosti I_t	0,03034	m ⁴	

1.2.5.10 Průřez PP-j

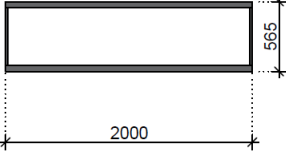
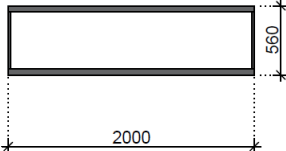
Tab. 38 Průřez PP-j – průřezové charakteristiky

Průřez PP-j			
Materiál	Ocel S355		Začátek průřezu PP11
Tloušťka pásnic komory t_f	0,05	m	
Tloušťka stojin komory t_w	0,02	m	
Plocha A	0,21800	m ²	
Moment setvačnosti I_y	0,01285	m ⁴	
Moment setvačnosti I_z	0,08431	m ⁴	
Torzní moment setvačnosti I_t	0,03034	m ⁴	
Materiál	Ocel S355		Konec průřezu PP12
Tloušťka pásnic komory t_f	0,05	m	
Tloušťka stojin komory t_w	0,02	m	
Plocha A	0,21860	m ²	
Moment setvačnosti I_y	0,01364	m ⁴	
Moment setvačnosti I_z	0,08490	m ⁴	
Torzní moment setvačnosti I_t	0,03182	m ⁴	

Analýza příčin vzniku poruch zavěšeného mostu

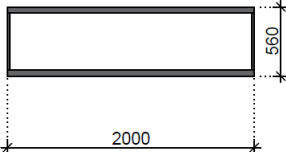
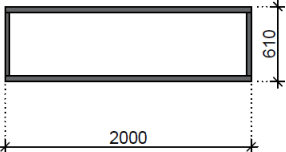
1.2.5.11 Průřez PP-k

Tab. 39 Průřez PP-k – průřezové charakteristiky

Průřez PP-k			
Materiál	Ocel S355		Začátek průřezu PP12
			
Tloušťka pásnic komory t_f	0,05	m	
Tloušťka stojin komory t_w	0,02	m	
Plocha A	0,21860	m ²	
Moment setvačnosti I_y	0,01364	m ⁴	
Moment setvačnosti I_z	0,08490	m ⁴	
Torzní moment setvačnosti I_t	0,03182	m ⁴	
Materiál	Ocel S355		
			
Tloušťka pásnic komory t_f	0,05	m	
Tloušťka stojin komory t_w	0,02	m	
Plocha A	0,21840	m ²	
Moment setvačnosti I_y	0,01337	m ⁴	
Moment setvačnosti I_z	0,08470	m ⁴	
Torzní moment setvačnosti I_t	0,03133	m ⁴	

1.2.5.12 Průřez PP-l

Tab. 40 Průřez PP-l – průřezové charakteristiky

Průřez PP-l			
Materiál	Ocel S355		Začátek průřezu PP14
			
Tloušťka pásnic komory t_f	0,05	m	
Tloušťka stojin komory t_w	0,035	m	
Plocha A	0,23220	m ²	
Moment setvačnosti I_y	0,01361	m ⁴	
Moment setvačnosti I_z	0,09775	m ⁴	
Torzní moment setvačnosti I_t	0,03729	m ⁴	
Materiál	Ocel S355		
			
Tloušťka pásnic komory t_f	0,05	m	
Tloušťka stojin komory t_w	0,035	m	
Plocha A	0,23570	m ²	
Moment setvačnosti I_y	0,01650	m ⁴	
Moment setvačnosti I_z	0,10113	m ⁴	
Torzní moment setvačnosti I_t	0,04379	m ⁴	

Analýza příčin vzniku poruch zavěšeného mostu

1.2.5.13 Průřez PP-m

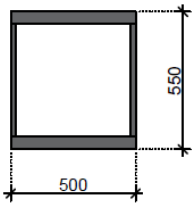
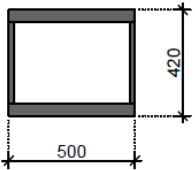
Tab. 41 Průřez PP-m – průřezové charakteristiky

Průřez PP-m			
Materiál	Ocel S355		Začátek průřezu PP15
Tloušťka pásnic komory t_f	0,05	m	
Tloušťka stojin komory t_w	0,035	m	
Plocha A	0,23570	m ²	
Moment setrvačnosti I_y	0,01650	m ⁴	
Moment setrvačnosti I_z	0,10113	m ⁴	
Torzní moment setrvačnosti I_t	0,04379	m ⁴	
Materiál	Ocel S355		
Tloušťka pásnic komory t_f	0,05	m	
Tloušťka stojin komory t_w	0,035	m	
Plocha A	0,24410	m ²	
Moment setrvačnosti I_y	0,02462	m ⁴	
Moment setrvačnosti I_z	0,10924	m ⁴	
Torzní moment setrvačnosti I_t	0,06080	m ⁴	

1.2.6 Koncové příčnky nad opěrami

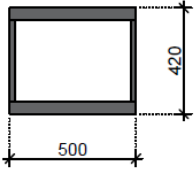
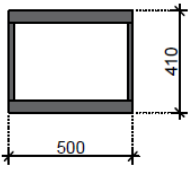
1.2.6.1 Průřez PO-a1

Tab. 42 Průřez PO-a1 – průřezové charakteristiky

Průřez PO-a1			
Materiál	Ocel S355		Začátek průřezu PO1 
	Tloušťka pásnic komory t_f	0,05 m	
	Tloušťka stojin komory t_w	0,02 m	
	Plocha A	0,06800 m ²	
	Moment setvačnosti I_y	0,00344 m ⁴	
	Moment setvačnosti I_z	0,00208 m ⁴	
	Torzní moment setvačnosti I_t	0,00333 m ⁴	
Materiál	Ocel S355		Konec průřezu PO2 
	Tloušťka pásnic komory t_f	0,05 m	
	Tloušťka stojin komory t_w	0,02 m	
	Plocha A	0,06280 m ²	
	Moment setvačnosti I_y	0,00183 m ⁴	
	Moment setvačnosti I_z	0,00178 m ⁴	
	Torzní moment setvačnosti I_t	0,00225 m ⁴	

1.2.6.2 Průřez PO-a2

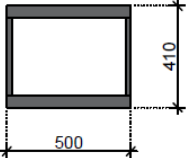
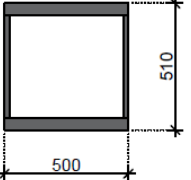
Tab. 43 Průřez PO-a2 – průřezové charakteristiky

Průřez PO-a2			
Materiál	Ocel S355		Začátek průřezu PO2 
	Tloušťka pásnic komory t_f	0,05 m	
	Tloušťka stojin komory t_w	0,02 m	
	Plocha A	0,06280 m ²	
	Moment setvačnosti I_y	0,00183 m ⁴	
	Moment setvačnosti I_z	0,00178 m ⁴	
	Torzní moment setvačnosti I_t	0,00225 m ⁴	
Materiál	Ocel S355		Konec průřezu PO3 
	Tloušťka pásnic komory t_f	0,05 m	
	Tloušťka stojin komory t_w	0,02 m	
	Plocha A	0,06240 m ²	
	Moment setvačnosti I_y	0,00173 m ⁴	
	Moment setvačnosti I_z	0,00176 m ⁴	
	Torzní moment setvačnosti I_t	0,00216 m ⁴	

Analýza příčin vzniku poruch zavěšeného mostu

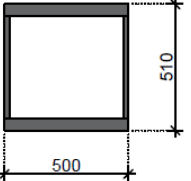
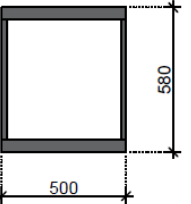
1.2.6.3 Průřez PO-b

Tab. 44 Průřez PO-b – průřezové charakteristiky

Průřez PO-b			
Materiál	Ocel S355		Začátek průřezu PO3
			
Tloušťka pásnic komory t_f	0,05	m	
Tloušťka stojin komory t_w	0,02	m	
Plocha A	0,06240	m ²	
Moment setvačnosti I_y	0,00173	m ⁴	
Moment setvačnosti I_z	0,00176	m ⁴	
Torzni moment setvačnosti I_t	0,00216	m ⁴	
Materiál	Ocel S355		Konec průřezu PO4
			
Tloušťka pásnic komory t_f	0,05	m	
Tloušťka stojin komory t_w	0,02	m	
Plocha A	0,06640	m ²	
Moment setvačnosti I_y	0,00289	m ⁴	
Moment setvačnosti I_z	0,00199	m ⁴	
Torzni moment setvačnosti I_t	0,00299	m ⁴	

1.2.6.4 Průřez PO-c

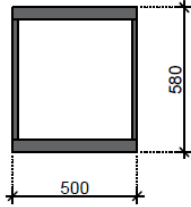
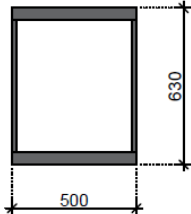
Tab. 45 Průřez PO-c – průřezové charakteristiky

Průřez PO-c			
Materiál	Ocel S355		Začátek průřezu PO4
			
Tloušťka pásnic komory t_f	0,05	m	
Tloušťka stojin komory t_w	0,02	m	
Plocha A	0,06640	m ²	
Moment setvačnosti I_y	0,00289	m ⁴	
Moment setvačnosti I_z	0,00199	m ⁴	
Torzni moment setvačnosti I_t	0,00299	m ⁴	
Materiál	Ocel S355		Konec průřezu PO5
			
Tloušťka pásnic komory t_f	0,05	m	
Tloušťka stojin komory t_w	0,02	m	
Plocha A	0,06920	m ²	
Moment setvačnosti I_y	0,00359	m ⁴	
Moment setvačnosti I_z	0,00389	m ⁴	
Torzni moment setvačnosti I_t	0,00215	m ⁴	

Analýza příčin vzniku poruch zavěšeného mostu

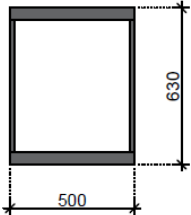
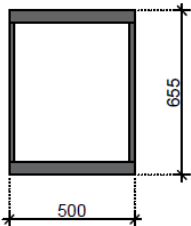
1.2.6.5 Průřez PO-d

Tab. 46 Průřez PO-d – průřezové charakteristiky

Průřez PO-d			
Materiál	Ocel S355		Začátek průřezu PO5
			
Tloušťka pásnic komory t_f	0,05	m	
Tloušťka stojin komory t_w	0,02	m	
Plocha A	0,06920	m ²	
Moment setvačnosti I_y	0,00359	m ⁴	
Moment setvačnosti I_z	0,00389	m ⁴	
Torzni moment setvačnosti I_t	0,00215	m ⁴	
Materiál	Ocel S355		Konec průřezu PO6
			
Tloušťka pásnic komory t_f	0,05	m	
Tloušťka stojin komory t_w	0,02	m	
Plocha A	0,07120	m ²	
Moment setvačnosti I_y	0,00471	m ⁴	
Moment setvačnosti I_z	0,00226	m ⁴	
Torzni moment setvačnosti I_t	0,00402	m ⁴	

1.2.6.6 Průřez PO-e

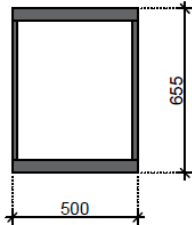
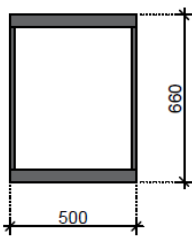
Tab. 47 Průřez PO-e – průřezové charakteristiky

Průřez PO-e			
Materiál	Ocel S355		Začátek průřezu PO6
			
Tloušťka pásnic komory t_f	0,05	m	
Tloušťka stojin komory t_w	0,02	m	
Plocha A	0,07120	m ²	
Moment setvačnosti I_y	0,00471	m ⁴	
Moment setvačnosti I_z	0,00226	m ⁴	
Torzni moment setvačnosti I_t	0,00402	m ⁴	
Materiál	Ocel S355		Konec průřezu PO7
			
Tloušťka pásnic komory t_f	0,05	m	
Tloušťka stojin komory t_w	0,02	m	
Plocha A	0,07220	m ²	
Moment setvačnosti I_y	0,00516	m ⁴	
Moment setvačnosti I_z	0,00232	m ⁴	
Torzni moment setvačnosti I_t	0,00423	m ⁴	

Analýza příčin vzniku poruch zavěšeného mostu

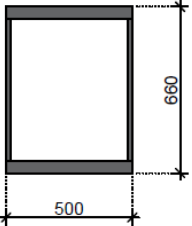
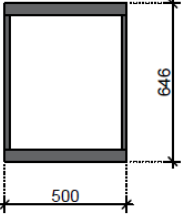
1.2.6.7 Průřez PO-f

Tab. 48 Průřez PO-f – průřezové charakteristiky

Průřez PO-f			
Materiál	Ocel S355		Začátek průřezu PO7
			
Tloušťka pásnic komory t_f	0,05	m	
Tloušťka stojin komory t_w	0,02	m	
Plocha A	0,07220	m ²	
Moment setvačnosti I_y	0,00516	m ⁴	
Moment setvačnosti I_z	0,00232	m ⁴	
Torzni moment setvačnosti I_t	0,00423	m ⁴	
Materiál	Ocel S355		
			
Tloušťka pásnic komory t_f	0,05	m	
Tloušťka stojin komory t_w	0,02	m	
Plocha A	0,07240	m ²	
Moment setvačnosti I_y	0,00428	m ⁴	
Moment setvačnosti I_z	0,00525	m ⁴	
Torzni moment setvačnosti I_t	0,00233	m ⁴	

1.2.6.8 Průřez PO-g

Tab. 49 Průřez PO-g – průřezové charakteristiky

Průřez PO-g			
Materiál	Ocel S355		Začátek průřezu PO8
			
Tloušťka pásnic komory t_f	0,05	m	
Tloušťka stojin komory t_w	0,02	m	
Plocha A	0,07240	m ²	
Moment setvačnosti I_y	0,00428	m ⁴	
Moment setvačnosti I_z	0,00525	m ⁴	
Torzni moment setvačnosti I_t	0,00233	m ⁴	
Materiál	Ocel S355		
			
Tloušťka pásnic komory t_f	0,05	m	
Tloušťka stojin komory t_w	0,02	m	
Plocha A	0,071840	m ²	
Moment setvačnosti I_y	0,004993	m ⁴	
Moment setvačnosti I_z	0,002300	m ⁴	
Torzni moment setvačnosti I_t	0,004154	m ⁴	

Analýza příčin vzniku poruch zavěšeného mostu

1.2.6.9 Průřez PO-h

Tab. 50 Průřez PO-h – průřezové charakteristiky

Průřez PO-h			
Materiál	Ocel S355		Začátek průřezu PO9
Tloušťka pásnic komory t_f	0,05	m	
Tloušťka stojin komory t_w	0,02	m	
Plocha A	0,071840	m ²	
Moment setvačnosti I_y	0,004993	m ⁴	
Moment setvačnosti I_z	0,002300	m ⁴	
Torzni moment setvačnosti I_t	0,004154	m ⁴	
Materiál	Ocel S355		Konec průřezu PO10
Tloušťka pásnic komory t_f	0,05	m	
Tloušťka stojin komory t_w	0,02	m	
Plocha A	0,07040	m ²	
Moment setvačnosti I_y	0,00437	m ⁴	
Moment setvačnosti I_z	0,00222	m ⁴	
Torzni moment setvačnosti I_t	0,00384	m ⁴	

1.2.6.10 Průřez PO-i

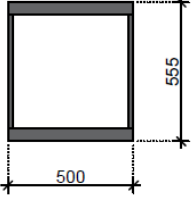
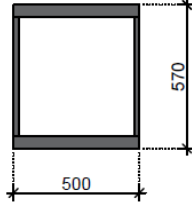
Tab. 51 Průřez PO-i – průřezové charakteristiky

Průřez PO-i			
Materiál	Ocel S355		Začátek průřezu PO10
Tloušťka pásnic komory t_f	0,05	m	
Tloušťka stojin komory t_w	0,02	m	
Plocha A	0,07040	m ²	
Moment setvačnosti I_y	0,00437	m ⁴	
Moment setvačnosti I_z	0,00222	m ⁴	
Torzni moment setvačnosti I_t	0,00384	m ⁴	
Materiál	Ocel S355		Konec průřezu PO11
Tloušťka pásnic komory t_f	0,05	m	
Tloušťka stojin komory t_w	0,02	m	
Plocha A	0,068200	m ²	
Moment setvačnosti I_y	0,003512	m ⁴	
Moment setvačnosti I_z	0,002091	m ⁴	
Torzni moment setvačnosti I_t	0,003372	m ⁴	

Analýza příčin vzniku poruch zavěšeného mostu

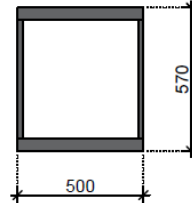
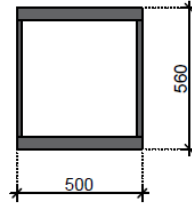
1.2.6.11 Průřez PO-j

Tab. 52 Průřez PO-j – průřezové charakteristiky

Průřez PO-j			
Materiál	Ocel S355		Začátek průřezu PO11
			
Tloušťka pásnic komory t_f	0,05	m	
Tloušťka stojin komory t_w	0,02	m	
Plocha A	0,068200	m ²	
Moment setvačnosti I_y	0,003512	m ⁴	
Moment setvačnosti I_z	0,002091	m ⁴	
Torzni moment setvačnosti I_t	0,003372	m ⁴	
Materiál	Ocel S355		
			
Tloušťka pásnic komory t_f	0,05	m	
Tloušťka stojin komory t_w	0,02	m	
Plocha A	0,06880	m ²	
Moment setvačnosti I_y	0,00374	m ⁴	
Moment setvačnosti I_z	0,00213	m ⁴	
Torzni moment setvačnosti I_t	0,00350	m ⁴	

1.2.6.12 Průřez PO-k

Tab. 53 Průřez PO-k – průřezové charakteristiky

Průřez PO-k			
Materiál	Ocel S355		Začátek průřezu PO12
			
Tloušťka pásnic komory t_f	0,05	m	
Tloušťka stojin komory t_w	0,02	m	
Plocha A	0,06880	m ²	
Moment setvačnosti I_y	0,00374	m ⁴	
Moment setvačnosti I_z	0,00213	m ⁴	
Torzni moment setvačnosti I_t	0,00350	m ⁴	
Materiál	Ocel S355		
			
Tloušťka pásnic komory t_f	0,05	m	
Tloušťka stojin komory t_w	0,02	m	
Plocha A	0,068400	m ²	
Moment setvačnosti I_y	0,003586	m ⁴	
Moment setvačnosti I_z	0,002102	m ⁴	
Torzni moment setvačnosti I_t	0,003415	m ⁴	

Analýza příčin vzniku poruch zavěšeného mostu

1.2.6.13 Průřez PO-l

Tab. 54 Průřez PO-l – průřezové charakteristiky

Průřez PO-l			
Materiál	Ocel S355		Začátek průřezu PO13
Tloušťka pásnic komory t_f	0,05	m	
Tloušťka stojin komory t_w	0,02	m	
Plocha A	0,068400	m ²	
Moment setvačnosti I_y	0,003586	m ⁴	
Moment setvačnosti I_z	0,002102	m ⁴	
Torzní moment setvačnosti I_t	0,003415	m ⁴	
Materiál	Ocel S355		Konec průřezu PO14
Tloušťka pásnic komory t_f	0,05	m	
Tloušťka stojin komory t_w	0,02	m	
Plocha A	0,067400	m ²	
Moment setvačnosti I_y	0,003225	m ⁴	
Moment setvačnosti I_z	0,002044	m ⁴	
Torzní moment setvačnosti I_t	0,003202	m ⁴	

1.2.6.14 Průřez PO-m

Tab. 55 Průřez PO-m – průřezové charakteristiky

Průřez PO-m			
Materiál	Ocel S355		Začátek průřezu PO14
Tloušťka pásnic komory t_f	0,05	m	
Tloušťka stojin komory t_w	0,02	m	
Plocha A	0,067400	m ²	
Moment setvačnosti I_y	0,003225	m ⁴	
Moment setvačnosti I_z	0,002044	m ⁴	
Torzní moment setvačnosti I_t	0,003202	m ⁴	
Materiál	Ocel S355		Konec průřezu PO15
Tloušťka pásnic komory t_f	0,05	m	
Tloušťka stojin komory t_w	0,02	m	
Plocha A	0,068000	m ²	
Moment setvačnosti I_y	0,003439	m ⁴	
Moment setvačnosti I_z	0,002079	m ⁴	
Torzní moment setvačnosti I_t	0,003329	m ⁴	

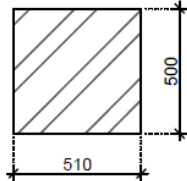
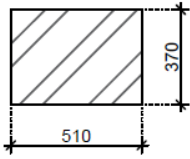
Analýza příčin vzniku poruch zavěšeného mostu

1.2.7 Koncový příčník nad opěrami – dobetonávka

V modelu byla dobetonávka koncových příčníků uvažována přidáním prutových prvků o odpovídající ploše.

1.2.7.1 Průřez PB-a1

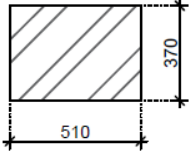
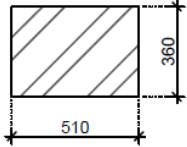
Tab. 56 Průřez PB-a1 – průřezové charakteristiky

Průřez PB-a1			
Materiál	C35/45-deska		Začátek průřezu PB1
			
Šířka	0,51	m	
Výška	0,5	m	
Plocha A	0,255000	m ²	
Moment setrvačnosti I _y	0,005313	m ⁴	
Moment setrvačnosti I _z	0,005527	m ⁴	
Torzní moment setrvačnosti I _t	0,009135	m ⁴	
Materiál	C35/45-deska		Konec průřezu PB2
			
Šířka	0,51	m	
Výška	0,37	m	
Plocha A	0,188700	m ²	
Moment setrvačnosti I _y	0,002153	m ⁴	
Moment setrvačnosti I _z	0,004090	m ⁴	
Torzní moment setrvačnosti I _t	0,004766	m ⁴	

Analýza příčin vzniku poruch zavěšeného mostu

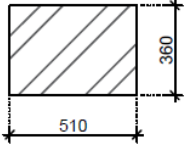
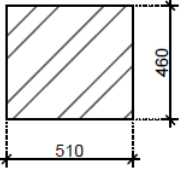
1.2.7.2 Průřez PB-a2

Tab. 57 Průřez PB-a2 – průřezové charakteristiky

Průřez PB-a2			
Materiál	C35/45-deska		Začátek průřezu PB2
			
Šířka	0,51	m	
Výška	0,37	m	
Plocha A	0,188700	m ²	
Moment setvačnosti I _y	0,002153	m ⁴	
Moment setvačnosti I _z	0,004090	m ⁴	
Torzni moment setvačnosti I _t	0,004766	m ⁴	
Materiál	C35/45-deska		Konec průřezu PB3
			
Šířka	0,51	m	
Výška	0,36	m	
Plocha A	0,183600	m ²	
Moment setvačnosti I _y	0,001983	m ⁴	
Moment setvačnosti I _z	0,003980	m ⁴	
Torzni moment setvačnosti I _t	0,004477	m ⁴	

1.2.7.3 Průřez PB-b

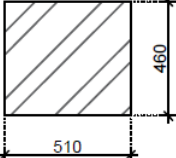
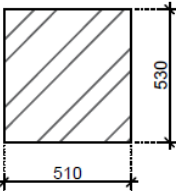
Tab. 58 Průřez PB-b – průřezové charakteristiky

Průřez PB-b			
Materiál	C35/45-deska		Začátek průřezu PB3
			
Šířka	0,51	m	
Výška	0,36	m	
Plocha A	0,183600	m ²	
Moment setvačnosti I _y	0,001983	m ⁴	
Moment setvačnosti I _z	0,003980	m ⁴	
Torzni moment setvačnosti I _t	0,004477	m ⁴	
Materiál	C35/45-deska		Konec průřezu PB4
			
Šířka	0,51	m	
Výška	0,46	m	
Plocha A	0,234600	m ²	
Moment setvačnosti I _y	0,004137	m ⁴	
Moment setvačnosti I _z	0,005085	m ⁴	
Torzni moment setvačnosti I _t	0,007663	m ⁴	

Analýza příčin vzniku poruch zavěšeného mostu

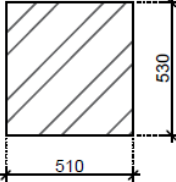
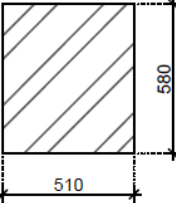
1.2.7.4 Průřez PB-c

Tab. 59 Průřez PB-c – průřezové charakteristiky

Průřez PB-c			
Materiál	C35/45-deska		Začátek průřezu PB4
			
Šířka	0,51	m	
Výška	0,46	m	
Plocha A	0,234600	m ²	
Moment setvačnosti I _y	0,004137	m ⁴	
Moment setvačnosti I _z	0,005085	m ⁴	
Torzni moment setvačnosti I _t	0,007663	m ⁴	
Materiál	C35/45-deska		Konec průřezu PB5
			
Šířka	0,51	m	
Výška	0,53	m	
Plocha A	0,27030	m ²	
Moment setvačnosti I _y	0,00633	m ⁴	
Moment setvačnosti I _z	0,00586	m ⁴	
Torzni moment setvačnosti I _t	0,01024	m ⁴	

1.2.7.5 Průřez PB-d

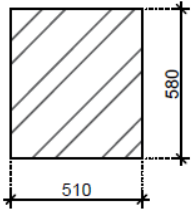
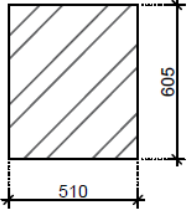
Tab. 60 Průřez PB-d – průřezové charakteristiky

Průřez PB-d			
Materiál	C35/45-deska		Začátek průřezu PB5
			
Šířka	0,51	m	
Výška	0,53	m	
Plocha A	0,27030	m ²	
Moment setvačnosti I _y	0,00633	m ⁴	
Moment setvačnosti I _z	0,00586	m ⁴	
Torzni moment setvačnosti I _t	0,01024	m ⁴	
Materiál	C35/45-deska		Konec průřezu PB6
			
Šířka	0,51	m	
Výška	0,58	m	
Plocha A	0,295800	m ²	
Moment setvačnosti I _y	0,008292	m ⁴	
Moment setvačnosti I _z	0,006411	m ⁴	
Torzni moment setvačnosti I _t	0,012147	m ⁴	

Analýza příčin vzniku poruch zavěšeného mostu

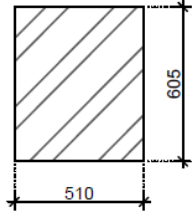
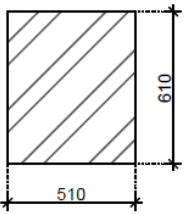
1.2.7.6 Průřez PB-e

Tab. 61 Průřez PB-e – průřezové charakteristiky

Průřez PB-e			
Materiál	C35/45-deska		Začátek průřezu PB6
			
Šířka	0,51	m	
Výška	0,58	m	
Plocha A	0,295800	m ²	
Moment setvačnosti I _y	0,008292	m ⁴	
Moment setvačnosti I _z	0,006411	m ⁴	
Torzni moment setvačnosti I _t	0,012147	m ⁴	
Materiál	C35/45-deska		Konec průřezu PB7
			
Šířka	0,51	m	
Výška	0,605	m	
Plocha A	0,308550	m ²	
Moment setvačnosti I _y	0,009411	m ⁴	
Moment setvačnosti I _z	0,006688	m ⁴	
Torzni moment setvačnosti I _t	0,013142	m ⁴	

1.2.7.7 Průřez PB-f

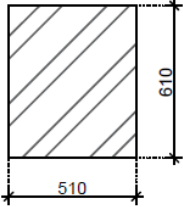
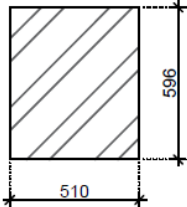
Tab. 62 Průřez PB-f – průřezové charakteristiky

Průřez PB-f			
Materiál	C35/45-deska		Začátek průřezu PB7
			
Šířka	0,51	m	
Výška	0,605	m	
Plocha A	0,308550	m ²	
Moment setvačnosti I _y	0,009411	m ⁴	
Moment setvačnosti I _z	0,006688	m ⁴	
Torzni moment setvačnosti I _t	0,013142	m ⁴	
Materiál	C35/45-deska		Konec průřezu PB8
			
Šířka	0,51	m	
Výška	0,61	m	
Plocha A	0,311100	m ²	
Moment setvačnosti I _y	0,009647	m ⁴	
Moment setvačnosti I _z	0,006743	m ⁴	
Torzni moment setvačnosti I _t	0,013344	m ⁴	

Analýza příčin vzniku poruch zavěšeného mostu

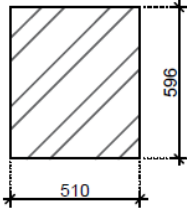
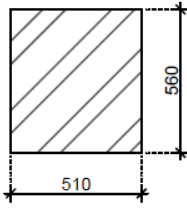
1.2.7.8 Průřez PB-g

Tab. 63 Průřez PB-g – průřezové charakteristiky

Průřez PB-g			
Materiál	C35/45-deska		Začátek průřezu PB8
			
Šířka	0,51	m	
Výška	0,61	m	
Plocha A	0,311100	m ²	
Moment setvačnosti I _y	0,009647	m ⁴	
Moment setvačnosti I _z	0,006743	m ⁴	
Torzni moment setvačnosti I _t	0,013344	m ⁴	
Materiál	C35/45-deska		Konec průřezu PB9
			
Šířka	0,51	m	
Výška	0,596	m	
Plocha A	0,30396	m ²	
Moment setvačnosti I _y	0,008998	m ⁴	
Moment setvačnosti I _z	0,006588	m ⁴	
Torzni moment setvačnosti I _t	0,012781	m ⁴	

1.2.7.9 Průřez PB-h

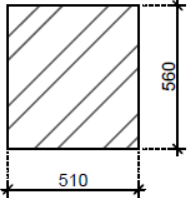
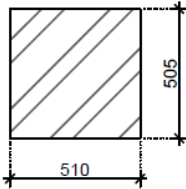
Tab. 64 Průřez PB-h – průřezové charakteristiky

Průřez PB-h			
Materiál	C35/45-deska		Začátek průřezu PB9
			
Šířka	0,51	m	
Výška	0,596	m	
Plocha A	0,303960	m ²	
Moment setvačnosti I _y	0,008998	m ⁴	
Moment setvačnosti I _z	0,006588	m ⁴	
Torzni moment setvačnosti I _t	0,012781	m ⁴	
Materiál	C35/45-deska		Konec průřezu PB10
			
Šířka	0,51	m	
Výška	0,56	m	
Plocha A	0,285600	m ²	
Moment setvačnosti I _y	0,007464	m ⁴	
Moment setvačnosti I _z	0,006190	m ⁴	
Torzni moment setvačnosti I _t	0,011369	m ⁴	

Analýza příčin vzniku poruch zavěšeného mostu

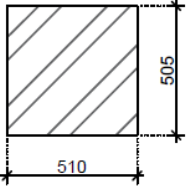
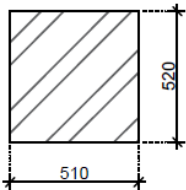
1.2.7.10 Průřez PB-i

Tab. 65 Průřez PB-i – průřezové charakteristiky

Průřez PB-i			
Materiál	C35/45-deska		Začátek průřezu PB10
			
Šířka	0,51	m	
Výška	0,56	m	
Plocha A	0,285600	m ²	
Moment setvačnosti I _y	0,007464	m ⁴	
Moment setvačnosti I _z	0,006190	m ⁴	
Torzni moment setvačnosti I _t	0,011369	m ⁴	
Materiál	C35/45-deska		Konec průřezu PB11
			
Šířka	0,51	m	
Výška	0,505	m	
Plocha A	0,257550	m ²	
Moment setvačnosti I _y	0,005473	m ⁴	
Moment setvačnosti I _z	0,005582	m ⁴	
Torzni moment setvačnosti I _t	0,009330	m ⁴	

1.2.7.11 Průřez PB-j

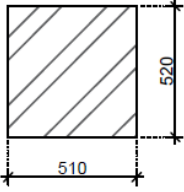
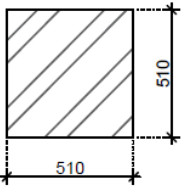
Tab. 66 Průřez PB-j – průřezové charakteristiky

Průřez PB-j			
Materiál	C35/45-deska		Začátek průřezu PB11
			
Šířka	0,51	m	
Výška	0,505	m	
Plocha A	0,257550	m ²	
Moment setvačnosti I _y	0,005473	m ⁴	
Moment setvačnosti I _z	0,005582	m ⁴	
Torzni moment setvačnosti I _t	0,009330	m ⁴	
Materiál	C35/45-deska		Konec průřezu PB12
			
Šířka	0,51	m	
Výška	0,52	m	
Plocha A	0,265200	m ²	
Moment setvačnosti I _y	0,005976	m ⁴	
Moment setvačnosti I _z	0,005748	m ⁴	
Torzni moment setvačnosti I _t	0,009881	m ⁴	

Analýza příčin vzniku poruch zavěšeného mostu

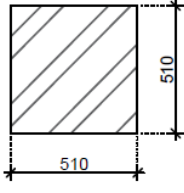
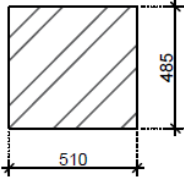
1.2.7.12 Průřez PB-k

Tab. 67 Průřez PB-k – průřezové charakteristiky

Průřez PB-k			
Materiál	C35/45-deska		Začátek průřezu PB12
			
Šířka	0,51	m	
Výška	0,52	m	
Plocha A	0,265200	m ²	
Moment setvačnosti I _y	0,005976	m ⁴	
Moment setvačnosti I _z	0,005748	m ⁴	
Torzní moment setvačnosti I _t	0,009881	m ⁴	
Materiál	C35/45-deska		Konec průřezu PB13
			
Šířka	0,51	m	
Výška	0,51	m	
Plocha A	0,260100	m ²	
Moment setvačnosti I _y	0,005638	m ⁴	
Moment setvačnosti I _z	0,005638	m ⁴	
Torzní moment setvačnosti I _t	0,009528	m ⁴	

1.2.7.13 Průřez PB-l

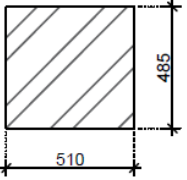
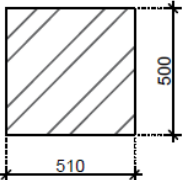
Tab. 68 Průřez PB-l – průřezové charakteristiky

Průřez PB-l			
Materiál	C35/45-deska		Začátek průřezu PB13
			
Šířka	0,51	m	
Výška	0,51	m	
Plocha A	0,260100	m ²	
Moment setvačnosti I _y	0,005638	m ⁴	
Moment setvačnosti I _z	0,005638	m ⁴	
Torzní moment setvačnosti I _t	0,009528	m ⁴	
Materiál	C35/45-deska		Konec průřezu PB14
			
Šířka	0,51	m	
Výška	0,485	m	
Plocha A	0,247350	m ²	
Moment setvačnosti I _y	0,004849	m ⁴	
Moment setvačnosti I _z	0,005361	m ⁴	
Torzní moment setvačnosti I _t	0,008567	m ⁴	

Analýza příčin vzniku poruch zavěšeného mostu

1.2.7.14 Průřez PB-m

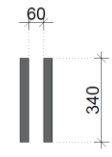
Tab. 69 Průřez PB-m – průřezové charakteristiky

Průřez PB-m			
Materiál	C35/45-deska		Začátek průřezu PB14
			
Šířka	0,51	m	
Výška	0,485	m	
Plocha A	0,247350	m ²	
Moment setvačnosti I _y	0,004849	m ⁴	
Moment setvačnosti I _z	0,005361	m ⁴	
Torzní moment setvačnosti I _t	0,008567	m ⁴	
Materiál	C35/45-deska		Konec průřezu PB15
			
Šířka	0,51	m	
Výška	0,51	m	
Plocha A	0,255000	m ²	
Moment setvačnosti I _y	0,005313	m ⁴	
Moment setvačnosti I _z	0,005527	m ⁴	
Torzní moment setvačnosti I _t	0,009135	m ⁴	

1.2.8 Koncová táhla

Tab. 70 Průřez koncová táhla – průřezové charakteristiky

Průřez koncových táhel		
Materiál	Ocel S355	
Tloušťka plechů	0,035	m
Plocha A	0,023800	m ²
Moment setvačnosti I _y	0,000229	m ⁴
Moment setvačnosti I _z	5,60E-05	m ⁴
Torzní moment setvačnosti I _t	9,11E-06	m ⁴




1.2.9 Římsově chodníky

1.2.9.1 Průřez římsa 1

Tab. 71 Průřez římsa 1 – průřezové charakteristiky

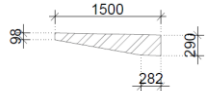
Průřez římsa 1		
Materiál	Římasy	
Plocha A	0,781173	m ²
Moment setvačnosti I _y	0,004732	m ⁴
Moment setvačnosti I _z	0,967323	m ⁴
Torzní moment setvačnosti I _t	0,011362	m ⁴



1.2.9.2 Průřez římsa 2

Tab. 72 Průřez římsa 2 – průřezové charakteristiky

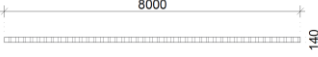
Průřez římsa 2		
Materiál	Římasy	
Plocha A	0,317338	m ²
Moment setvačnosti I _y	0,001917	m ⁴
Moment setvačnosti I _z	0,052907	m ⁴
Torzní moment setvačnosti I _t	0,005109	m ⁴



Analýza příčin vzniku poruch zavěšeného mostu

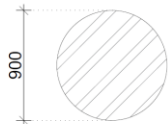
1.2.10 Vozovka

Tab. 73 Průřez vozovka – průřezové charakteristiky

Průřez vozovka			
Materiál	Vozovka		
Plocha A	1,12	m ²	
Moment setvačnosti I _y	0,001829	m ⁴	
Moment setvačnosti I _z	5,973333	m ⁴	
Torzní moment setvačnosti I _t	0,007237	m ⁴	

1.2.11 Piloty

Tab. 74 Průřez piloty – průřezové charakteristiky

Průřez piloty			
Materiál	C30/37-spodní stavba		
Průměr piloty	0,9	m	
Plocha A	0,632093	m ²	
Moment setvačnosti I _y	0,031795	m ⁴	
Moment setvačnosti I _z	0,031795	m ⁴	
Torzní moment setvačnosti I _t	0,063585	m ⁴	

1.3 Deskové prvky

1.3.1 Spodní stavba

Spodní stavba mostu je tvořena skořepinovými prvky s různou tloušťkou. V následujících kapitolách je uveden jejich přehled.

1.3.1.1 Opěra OP1

Tab. 75 Opěra OP1 – přehled použitých deskových prvků

Opěra OP1			
Označení	Materiál	Tloušťka [mm]	Typ
OP1-800 mm	C30/37-spodní stavba	800	Skořepina-tlustá
OP1-r-800 mm	C30/37-spodní stavba-modif	800	Skořepina-tlustá
OP1-900 mm	C30/37-spodní stavba	900	Skořepina-tlustá
OP1-r-900 mm	C30/37-spodní stavba-modif	900	Skořepina-tlustá
OP1-1000 mm	C30/37-spodní stavba	1000	Skořepina-tlustá
OP1-1330 mm	C30/37-spodní stavba	1330	Skořepina-tlustá
OP1-r-1330 mm	C30/37-spodní stavba-modif	1330	Skořepina-tlustá
OP1-1380 mm	C30/37-spodní stavba	1380	Skořepina-tlustá
OP1-1440 mm	C30/37-spodní stavba	1440	Skořepina-tlustá
OP1-1520 mm	C30/37-spodní stavba	1520	Skořepina-tlustá
OP1-1810 mm	C30/37-spodní stavba	1810	Skořepina-tlustá
OP1-r-1810 mm	C30/37-spodní stavba-modif	1810	Skořepina-tlustá
OP1-1830 mm	C30/37-spodní stavba	1830	Skořepina-tlustá
OP1-r-1830 mm	C30/37-spodní stavba-modif	1830	Skořepina-tlustá
OP1-2030 mm	C30/37-spodní stavba	2030	Skořepina-tlustá
OP1-r-2030 mm	C30/37-spodní stavba-modif	2030	Skořepina-tlustá
OP1-2255 mm	C30/37-spodní stavba	2255	Skořepina-tlustá
OP1-r-2255 mm	C30/37-spodní stavba-modif	2255	Skořepina-tlustá
OP1-2280 mm	C30/37-spodní stavba	2280	Skořepina-tlustá
OP1-r-2280 mm	C30/37-spodní stavba-modif	2280	Skořepina-tlustá
OP1-2465 mm	C30/37-spodní stavba	2465	Skořepina-tlustá
OP1-r-2465 mm	C30/37-spodní stavba-modif	2465	Skořepina-tlustá

1.3.1.2 Podpěra P2

Tab. 76 Podpěra P2 – přehled použitých deskových prvků

Podpěra P2			
Označení	Materiál	Tloušťka [mm]	Typ
P2-2000 mm	C30/37-spodní stavba	2000	Skořepina-tlustá
P2-r-2000 mm	C30/37-spodní stavba-modif	2000	Skořepina-tlustá
P2-1600 mm	C30/37-spodní stavba	1600	Skořepina-tlustá
P2-900 mm	C30/37-spodní stavba	900	Skořepina-tlustá
P2-800 mm	C30/37-spodní stavba	800	Skořepina-tlustá

Analýza příčin vzniku poruch zavěšeného mostu

1.3.1.3 Podpěra P3

Tab. 77 Podpěra P3 – přehled použitých deskových prvků

Podpěra P3			
Označení	Materiál	Tloušťka [mm]	Typ
P3-2000 mm	C30/37-spodní stavba	2000	Skořepina-tlustá
P3-r-2000 mm	C30/37-spodní stavba-modif	2000	Skořepina-tlustá
P3-1600 mm	C30/37-spodní stavba	1600	Skořepina-tlustá

1.3.1.4 Opěra OP4

Tab. 78 Opěra OP4 – přehled použitých deskových prvků

Opěra OP4			
Označení	Materiál	Tloušťka [mm]	Typ
OP4-800 mm	C30/37-spodní stavba	800	Skořepina-tlustá
OP4-r-800 mm	C30/37-spodní stavba-modif	800	Skořepina-tlustá
OP4-900 mm	C30/37-spodní stavba	900	Skořepina-tlustá
OP4-r-900 mm	C30/37-spodní stavba-modif	900	Skořepina-tlustá
OP4-1000 mm	C30/37-spodní stavba	1000	Skořepina-tlustá
OP4-1300 mm	C30/37-spodní stavba	1300	Skořepina-tlustá
OP4-r-1300 mm	C30/37-spodní stavba-modif	1300	Skořepina-tlustá
OP4-1355 mm	C30/37-spodní stavba	1355	Skořepina-tlustá
OP4-1430 mm	C30/37-spodní stavba	1430	Skořepina-tlustá
OP4-1515 mm	C30/37-spodní stavba	1515	Skořepina-tlustá
OP4-1830 mm	C30/37-spodní stavba	1830	Skořepina-tlustá
OP4-r-1830 mm	C30/37-spodní stavba-modif	1830	Skořepina-tlustá
OP4-1835 mm	C30/37-spodní stavba	1835	Skořepina-tlustá
OP4-r-1835 mm	C30/37-spodní stavba-modif	1835	Skořepina-tlustá
OP4-2065 mm	C30/37-spodní stavba	2065	Skořepina-tlustá
OP4-r-2065 mm	C30/37-spodní stavba-modif	2065	Skořepina-tlustá
OP4-2070 mm	C30/37-spodní stavba	2070	Skořepina-tlustá
OP4-r-2070 mm	C30/37-spodní stavba-modif	2070	Skořepina-tlustá
OP4-2300 mm	C30/37-spodní stavba	2300	Skořepina-tlustá
OP4-r-2300 mm	C30/37-spodní stavba-modif	2300	Skořepina-tlustá
OP4-2345 mm	C30/37-spodní stavba	2345	Skořepina-tlustá
OP4-r-2345 mm	C30/37-spodní stavba-modif	2345	Skořepina-tlustá
OP4-2490 mm	C30/37-spodní stavba	2490	Skořepina-tlustá
OP4-r-2490 mm	C30/37-spodní stavba-modif	2490	Skořepina-tlustá
OP4-2580 mm	C30/37-spodní stavba	2580	Skořepina-tlustá
OP4-r-2580 mm	C30/37-spodní stavba-modif	2580	Skořepina-tlustá

1.3.2 Betonová deska

Tab. 79 Betonová deska – přehled použitých deskových prvků

Betonová deska			
Označení	Materiál	Tloušťka [mm]	Typ
deska-220 mm	C35/45-deska-TDA	220	Skořepina-tenká
deska -220 mm - trhliny	C35/45-deska-TDA	220	Skořepina-tenká
deska-P2,P3-170 mm	C35/45-deska-TDA	220	Skořepina-tenká
deska-OP1,OP4-170 mm	C35/45-deska-TDA	220	Skořepina-tenká

2 Seznam obrázků

Obr. 1 Spodní stavba – celkový pohled (renderovaný model)	3
Obr. 2 Opěra OP1 (renderovaný model)	3
Obr. 3 Opěra OP4 (renderovaný model)	3
Obr. 4 Podpěra P2 (renderovaný model)	4
Obr. 5 Podpěra P3 (renderovaný model)	4
Obr. 6 Opěra OP4 – celkový pohled (drátový model)	5
Obr. 7 Opěra OP1 – detail pravé strany	6
Obr. 8 Opěra OP1 – detail levé strany	6
Obr. 9 Opěra OP4 – celkový pohled (drátový model)	7
Obr. 10 Opěra OP4 – detail pravé strany	8
Obr. 11 Opěra OP4 – detail levé strany	8
Obr. 12 Podpěra P2 – celkový pohled (drátový model)	9
Obr. 13 Podpěra P3 – celkový pohled (drátový model)	10
Obr. 14 Ocelový rošt mostovky – popis průřezů hlavních nosníků	11
Obr. 15 Příčník v poli – rozdělení průřezů	11
Obr. 16 Příčník v poli	11
Obr. 17 Příčník nad podporou – rozdělení průřezů	12
Obr. 18 Příčník podporový	12
Obr. 19 Koncový příčník – rozdělení průřezů	12
Obr. 20 Koncový příčník – popis průřezů	12
Obr. 21 Betonová deska – použité plošné prvky	13
Obr. 22 Betonová deska – dobetonávka koncového příčníku – schéma rozdělení průřezů	13
Obr. 23 Betonová deska – dobetonávka koncového příčníku	13
Obr. 24 Betonová deska – dobetonávka koncového příčníku – pohled zdola	13
Obr. 25 Závěsy pylonu P3 – celkový pohled (renderovaný model)	14
Obr. 26 Závěsy pylonu P3 – celkový pohled (drátový model)	14
Obr. 27 Pylon – celkový pohled	15
Obr. 28 Vozovka a chodníkové římsy (renderovaný model)	16
Obr. 29 Vozovka a chodníkové římsy (drátový model)	16

3 Seznam tabulek

Tab. 1 Průřez HN1-35 – průřezové charakteristiky	17
Tab. 2 Průřez HN1-35-S – průřezové charakteristiky	17
Tab. 3 Průřez HN2-40 – průřezové charakteristiky	17
Tab. 4 Průřez HN2-40-S – průřezové charakteristiky	18
Tab. 5 Průřez HN3-60/50 – průřezové charakteristiky	18
Tab. 6 Průřez HN3-60/50-S – průřezové charakteristiky	18
Tab. 7 Průřez HN4-2_50/50 – průřezové charakteristiky	19
Tab. 8 Průřez PL-a – průřezové charakteristiky	19
Tab. 9 Průřez PL-a-S – průřezové charakteristiky	19
Tab. 10 Průřez PL-b – průřezové charakteristiky	20
Tab. 11 Průřez PL-b-S – průřezové charakteristiky	20
Tab. 12 Průřez PL-c – průřezové charakteristiky	21
Tab. 13 Průřez M100 – průřezové charakteristiky	22
Tab. 14 Průřez M90 – průřezové charakteristiky	22
Tab. 15 Průřez M85 – průřezové charakteristiky	22
Tab. 16 Průřez P-a – průřezové charakteristiky	23
Tab. 17 Průřez P-b – průřezové charakteristiky	23
Tab. 18 Průřez P-c – průřezové charakteristiky	24
Tab. 19 Průřez P-d – průřezové charakteristiky	24
Tab. 20 Průřez P-e – průřezové charakteristiky	25
Tab. 21 Průřez P-f – průřezové charakteristiky	25
Tab. 22 Průřez P-g – průřezové charakteristiky	26
Tab. 23 Průřez P-h – průřezové charakteristiky	26
Tab. 24 Průřez P-i – průřezové charakteristiky	27
Tab. 25 Průřez P-j – průřezové charakteristiky	27
Tab. 26 Průřez P-k – průřezové charakteristiky	28
Tab. 27 Průřez P-l – průřezové charakteristiky	28
Tab. 28 Průřez P-m – průřezové charakteristiky	29
Tab. 29 Průřez PP-a – průřezové charakteristiky	30
Tab. 30 Průřez PP-b – průřezové charakteristiky	30
Tab. 31 Průřez PP-c – průřezové charakteristiky	31
Tab. 32 Průřez PP-d – průřezové charakteristiky	31
Tab. 33 Průřez PP-e – průřezové charakteristiky	32
Tab. 34 Průřez PP-f – průřezové charakteristiky	32
Tab. 35 Průřez PP-g – průřezové charakteristiky	33
Tab. 36 Průřez PP-h – průřezové charakteristiky	33
Tab. 37 Průřez PP-i – průřezové charakteristiky	34
Tab. 38 Průřez PP-j – průřezové charakteristiky	34
Tab. 39 Průřez PP-k – průřezové charakteristiky	35
Tab. 40 Průřez PP-l – průřezové charakteristiky	35
Tab. 41 Průřez PP-m – průřezové charakteristiky	36

Tab. 42 Průřez PO-a1 – průřezové charakteristiky	37
Tab. 43 Průřez PO-a2 – průřezové charakteristiky	37
Tab. 44 Průřez PO-b – průřezové charakteristiky	38
Tab. 45 Průřez PO-c – průřezové charakteristiky	38
Tab. 46 Průřez PO-d – průřezové charakteristiky	39
Tab. 47 Průřez PO-e – průřezové charakteristiky	39
Tab. 48 Průřez PO-f – průřezové charakteristiky	40
Tab. 49 Průřez PO-g – průřezové charakteristiky	40
Tab. 50 Průřez PO-h – průřezové charakteristiky	41
Tab. 51 Průřez PO-i – průřezové charakteristiky	41
Tab. 52 Průřez PO-j – průřezové charakteristiky	42
Tab. 53 Průřez PO-k – průřezové charakteristiky	42
Tab. 54 Průřez PO-l – průřezové charakteristiky	43
Tab. 55 Průřez PO-m – průřezové charakteristiky	43
Tab. 56 Průřez PB-a1 – průřezové charakteristiky	44
Tab. 57 Průřez PB-a2 – průřezové charakteristiky	45
Tab. 58 Průřez PB-b – průřezové charakteristiky	45
Tab. 59 Průřez PB-c – průřezové charakteristiky	46
Tab. 60 Průřez PB-d – průřezové charakteristiky	46
Tab. 61 Průřez PB-e – průřezové charakteristiky	47
Tab. 62 Průřez PB-f – průřezové charakteristiky	47
Tab. 63 Průřez PB-g – průřezové charakteristiky	48
Tab. 64 Průřez PB-h – průřezové charakteristiky	48
Tab. 65 Průřez PB-i – průřezové charakteristiky	49
Tab. 66 Průřez PB-j – průřezové charakteristiky	49
Tab. 67 Průřez PB-k – průřezové charakteristiky	50
Tab. 68 Průřez PB-l – průřezové charakteristiky	50
Tab. 69 Průřez PB-m – průřezové charakteristiky	51
Tab. 70 Průřez koncová táhla – průřezové charakteristiky	52
Tab. 71 Průřez římsa 1 – průřezové charakteristiky	52
Tab. 72 Průřez římsa 2 – průřezové charakteristiky	52
Tab. 73 Průřez vozovka – průřezové charakteristiky	53
Tab. 74 Průřez pilota – průřezové charakteristiky	53
Tab. 75 Opěra OP1 – přehled použitých deskových prvků	54
Tab. 76 Podpěra P2 – přehled použitých deskových prvků	54
Tab. 77 Podpěra P3 – přehled použitých deskových prvků	55
Tab. 78 Opěra OP4 – přehled použitých deskových prvků	55
Tab. 79 Betonová deska – přehled použitých deskových prvků	56